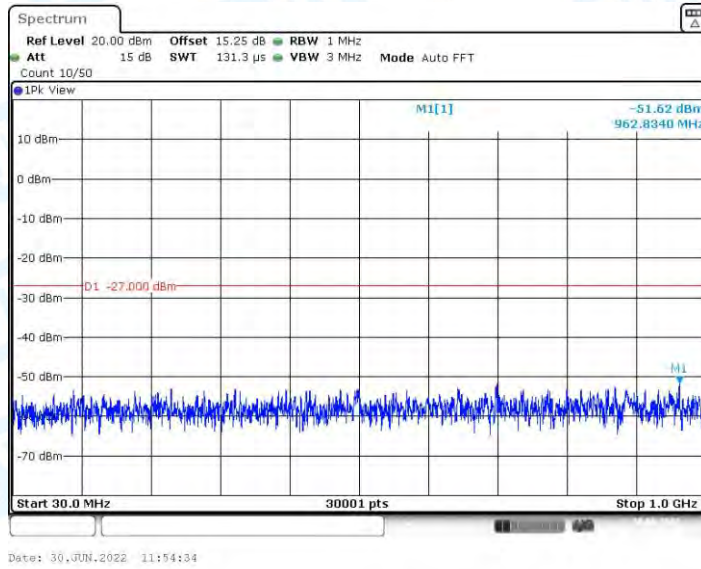
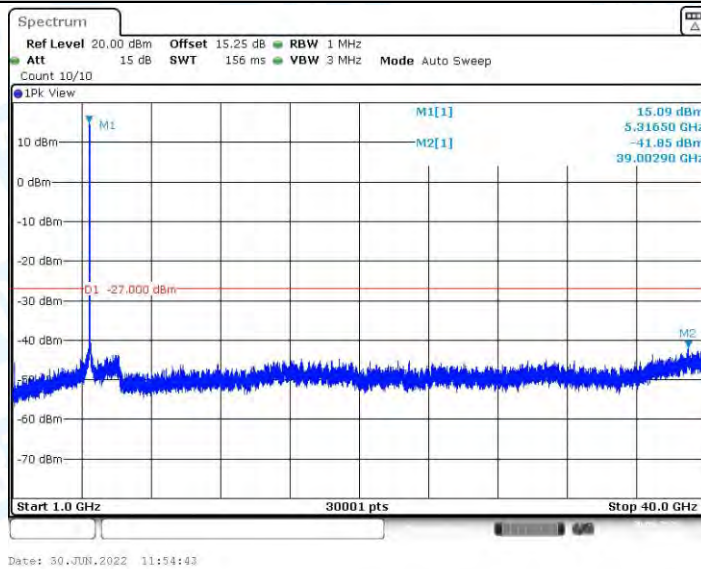


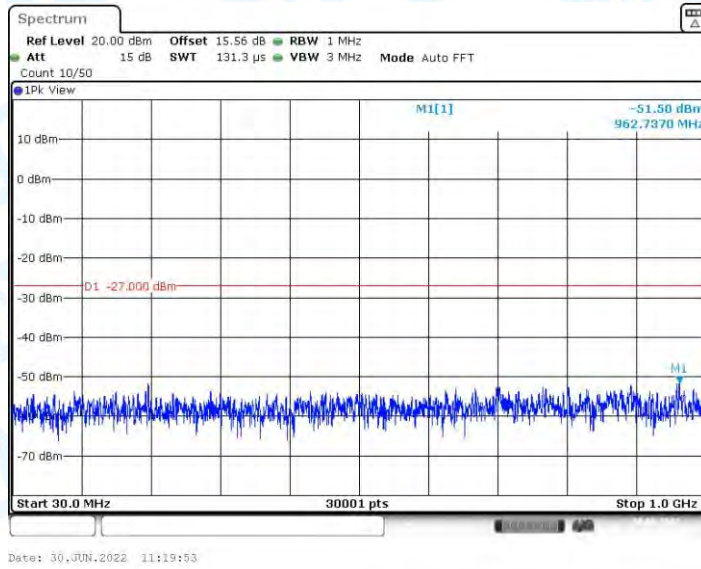
11A_Ant1_5320_1000~40000



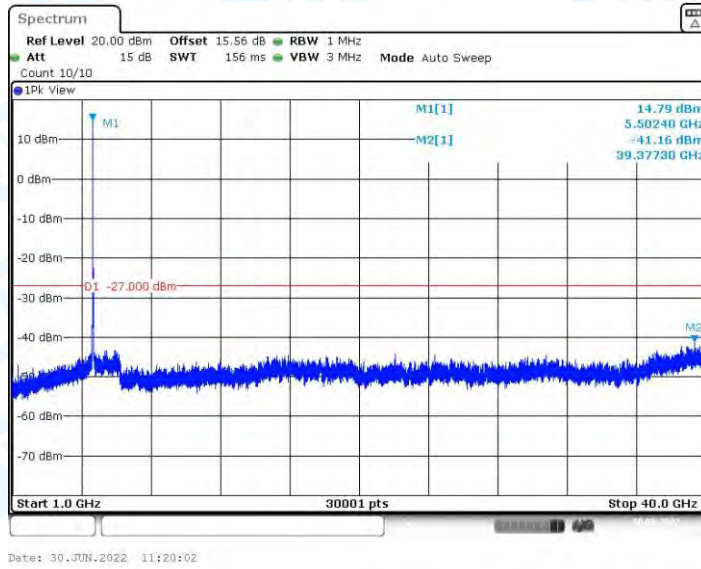
11A_Ant2_5320_30~1000



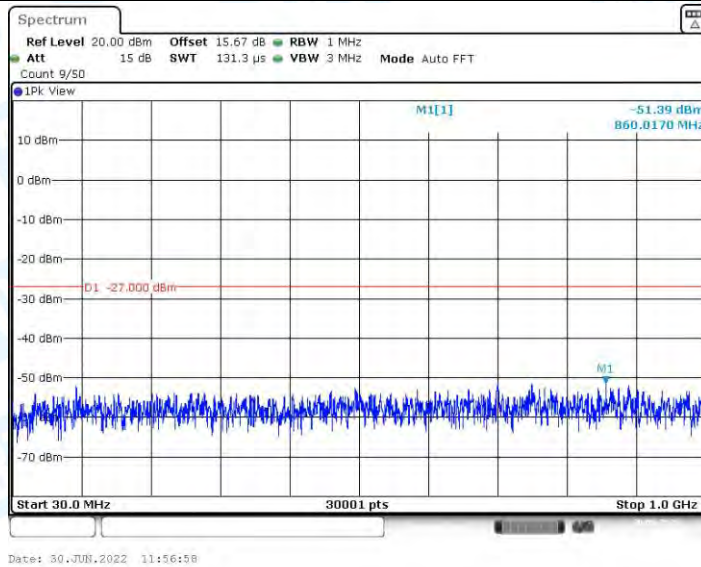
11A_Ant2_5320_1000~40000



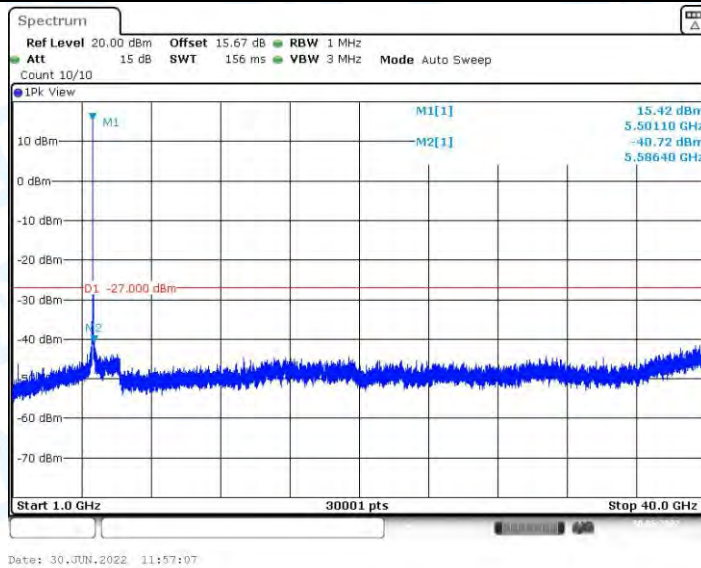
11A_Ant1_5500_30~1000



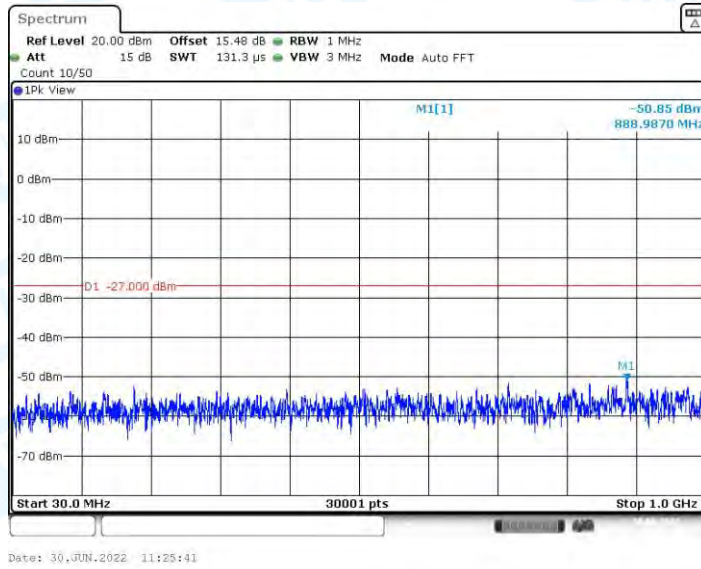
11A_Ant1_5500_1000~4000



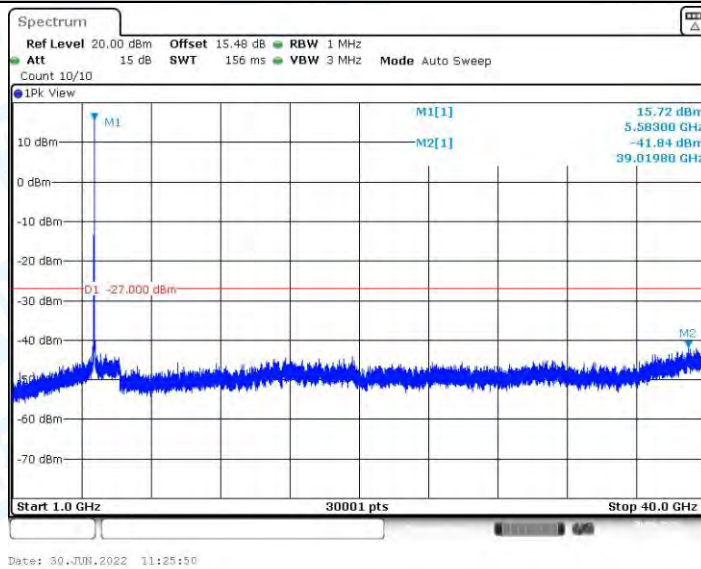
11A_Ant2_5500_30~1000



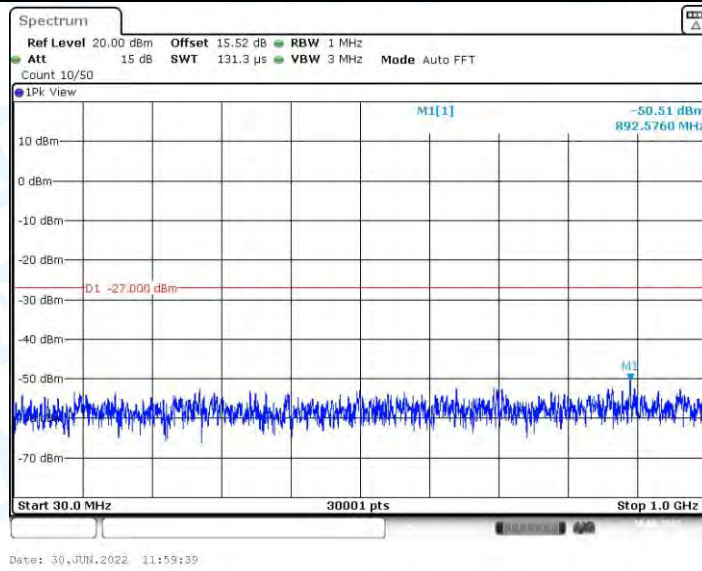
11A_Ant2_5500_1000~40000



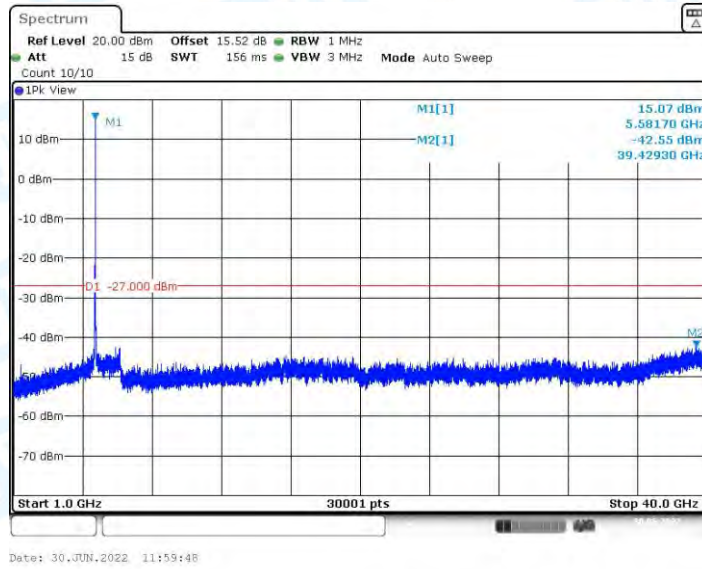
11A_Ant1_5580_30~1000



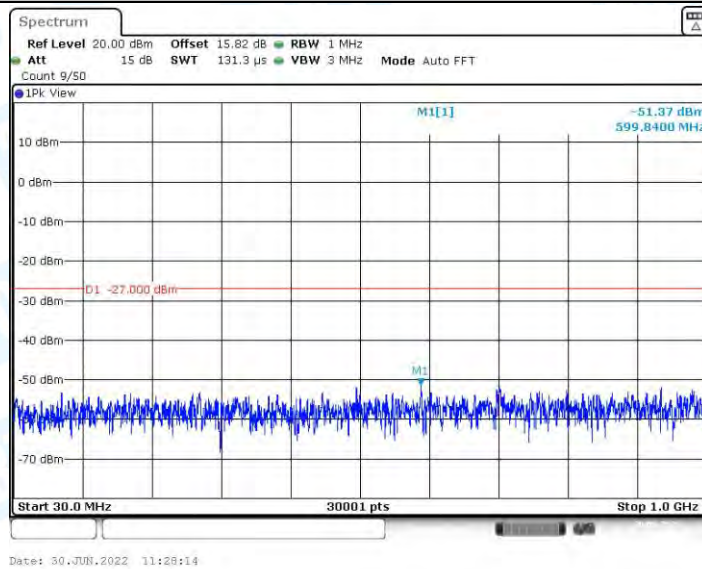
11A_Ant1_5580_1000~40000



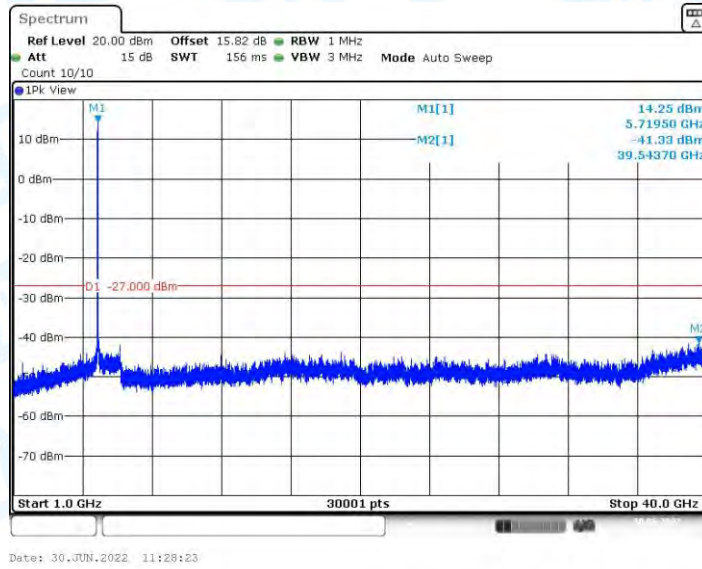
11A_Ant2_5580_30~1000



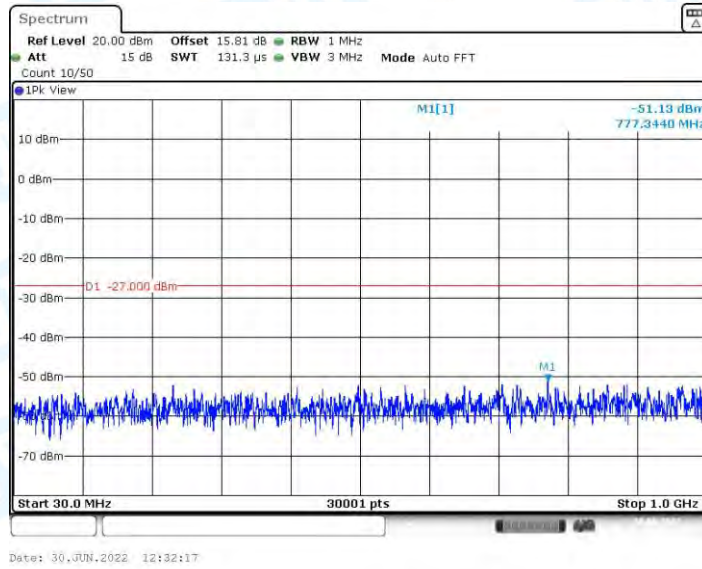
11A_Ant2_5580_1000~4000



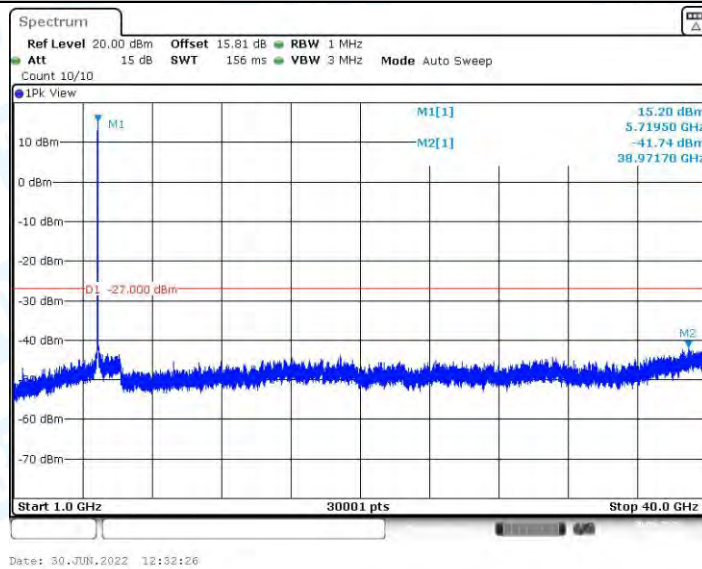
11A_Ant1_5720_30~1000



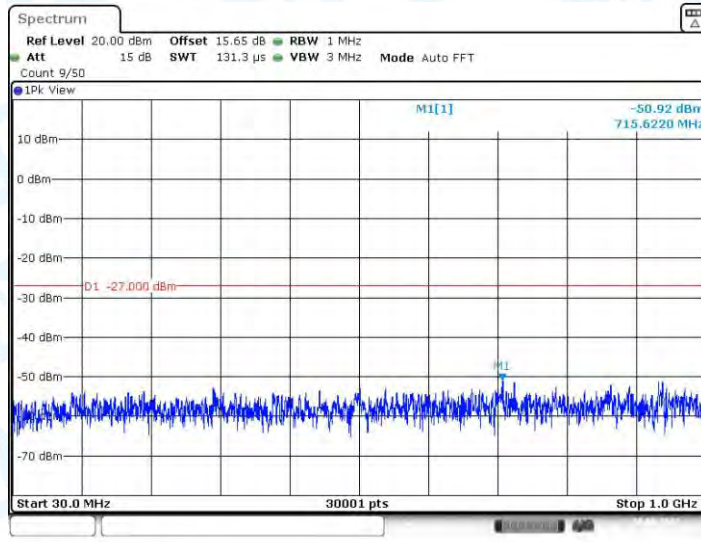
11A_Ant1_5720_1000~40000



11A_Ant2_5720_30~1000

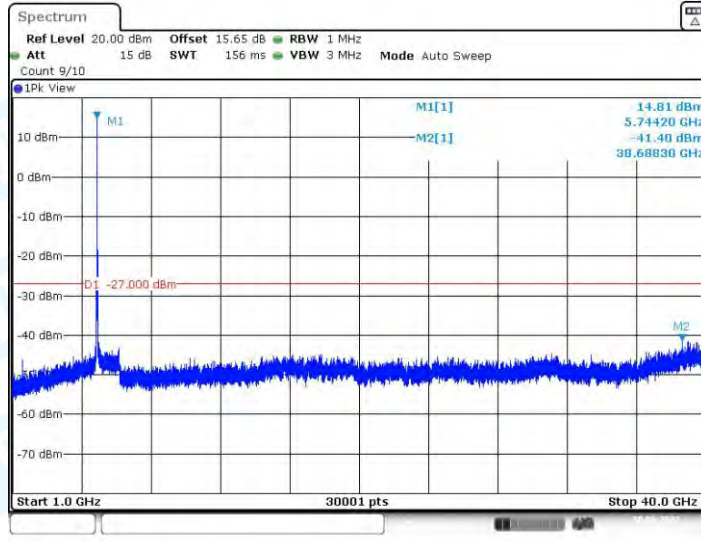


11A_Ant2_5720_1000~40000



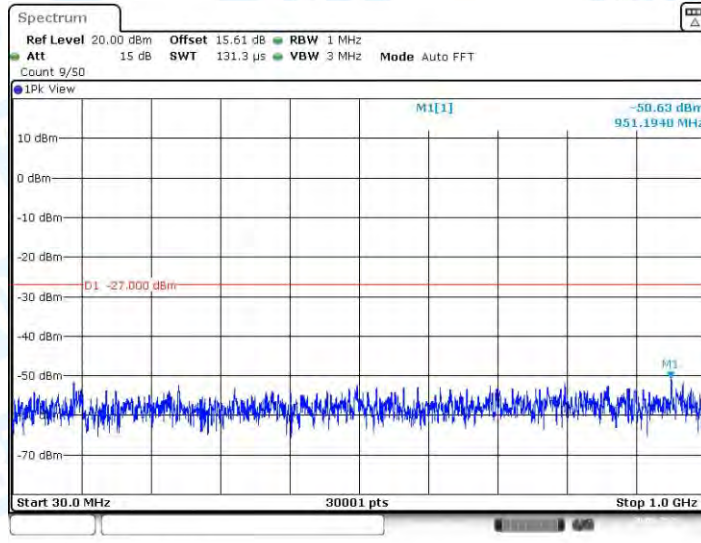
Date: 30 JUN 2022 11:30:45

11A_Ant1_5745_30~1000



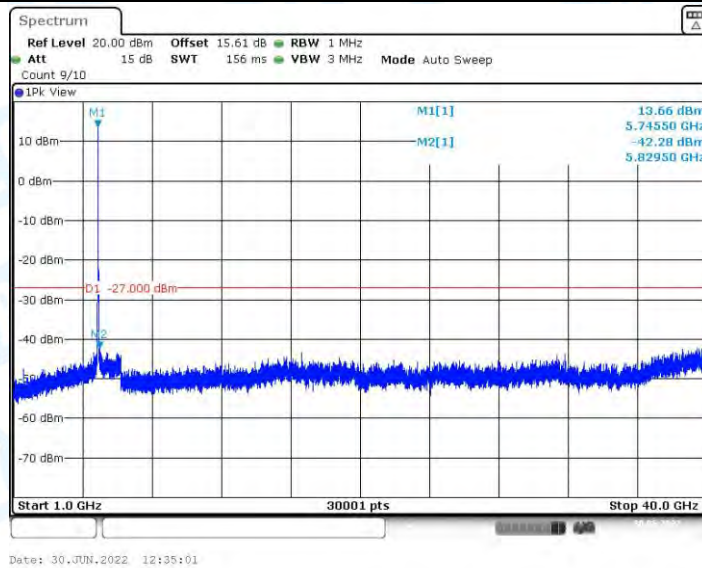
Date: 30 JUN 2022 11:30:53

11A_Ant1_5745_1000~4000

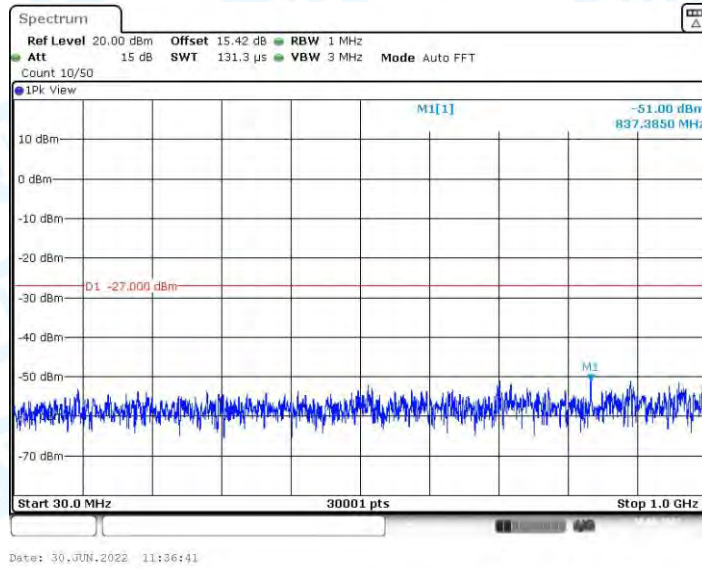


Date: 30 JUN 2022 12:54:54

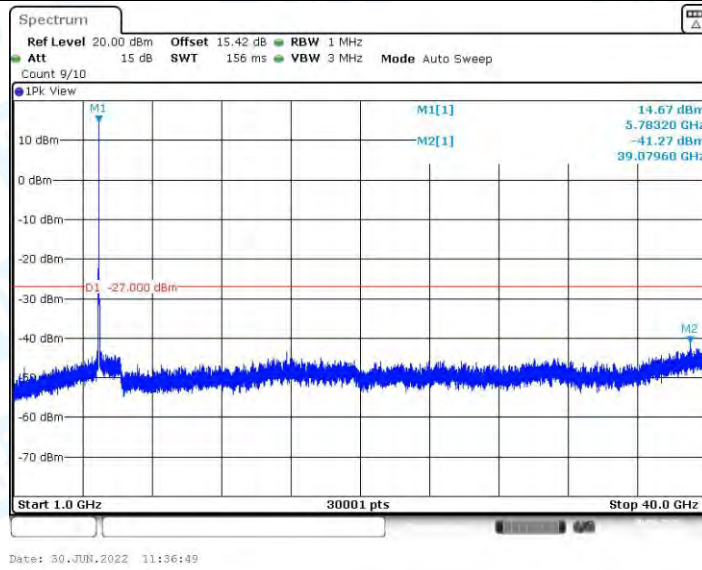
11A_Ant2_5745_30~1000



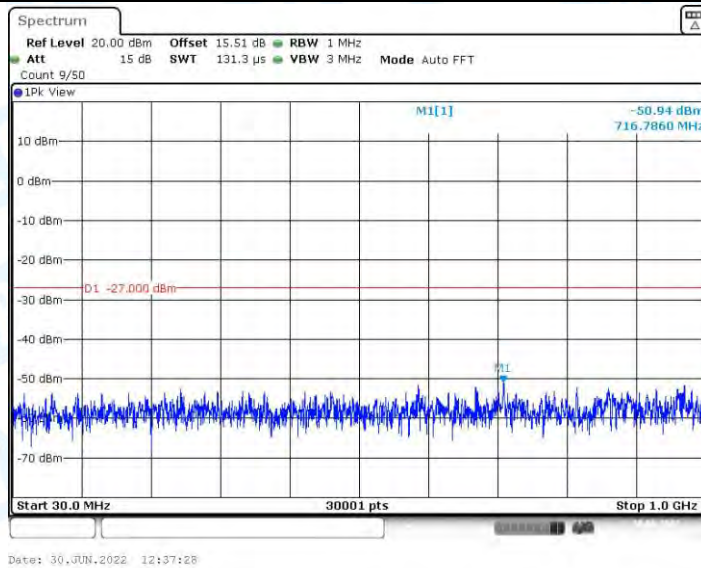
11A_Ant2_5745_1000~40000



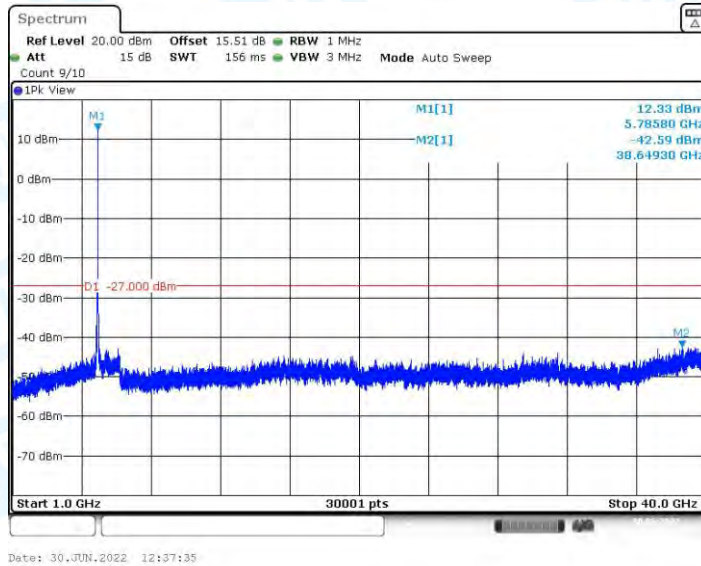
11A_Ant1_5785_30~1000



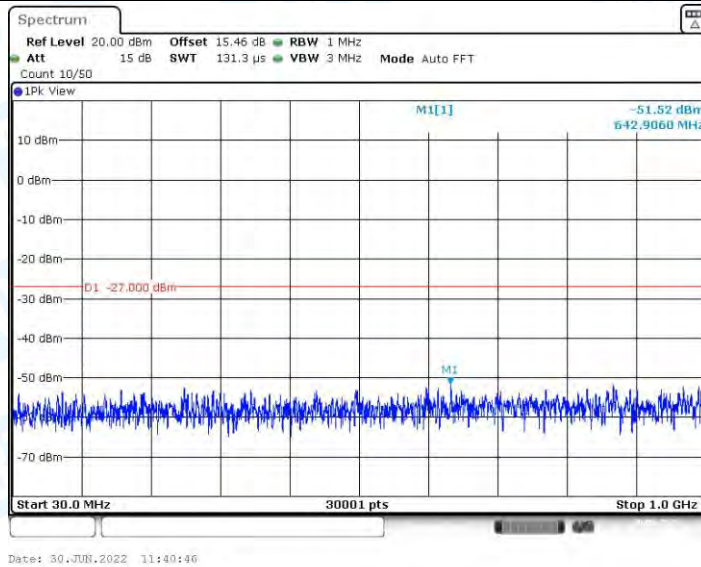
11A_Ant1_5785_1000~40000



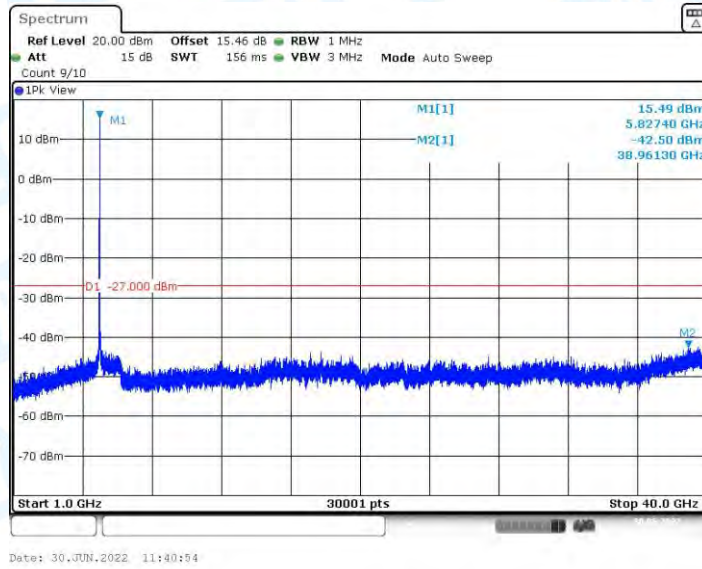
11A_Ant2_5785_30~1000



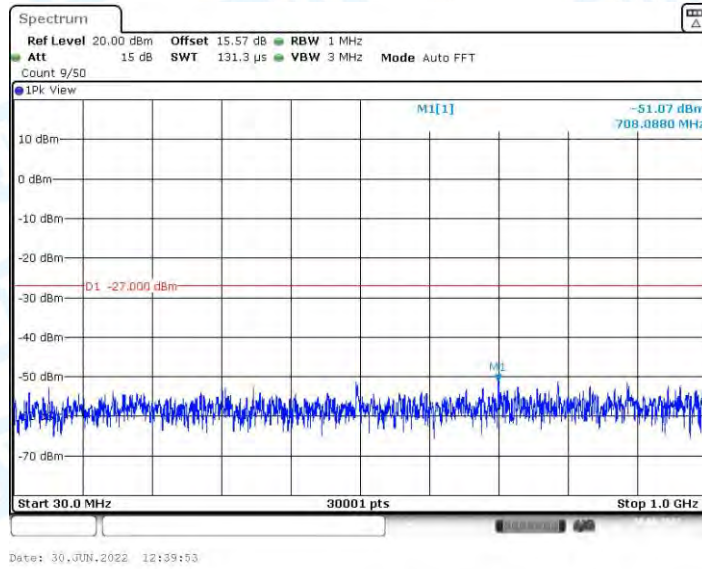
11A_Ant2_5785_1000~4000



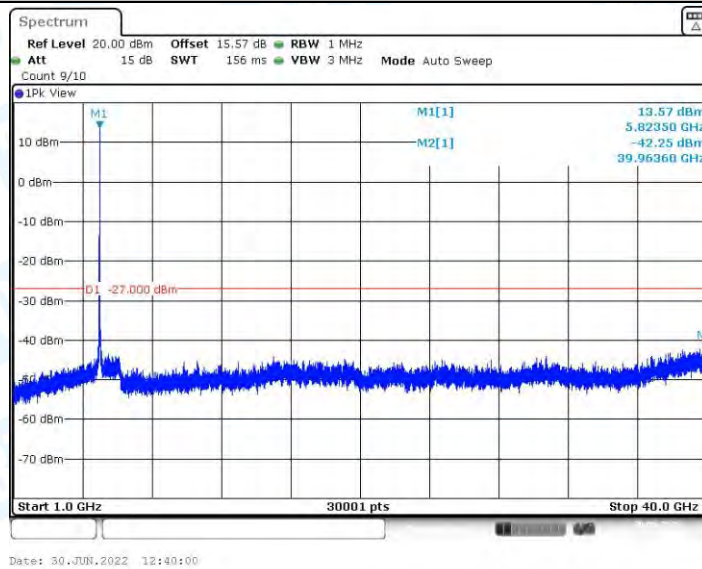
11A_Ant1_5825_30~1000



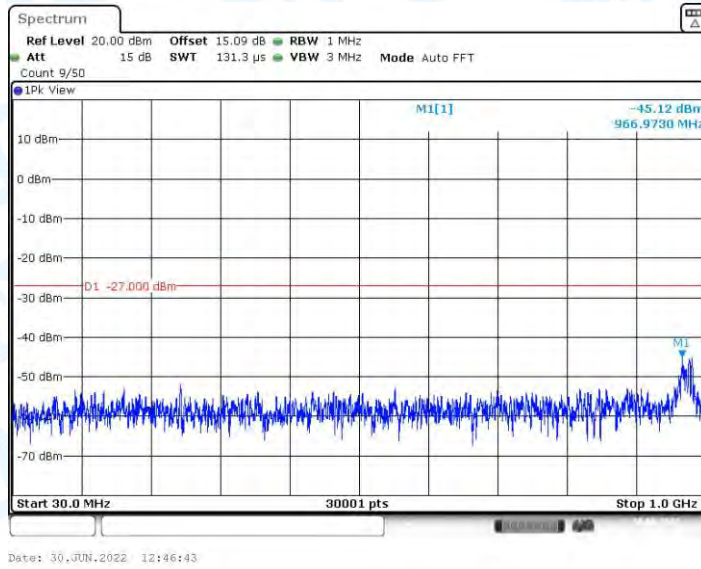
11A_Ant1_5825_1000~40000



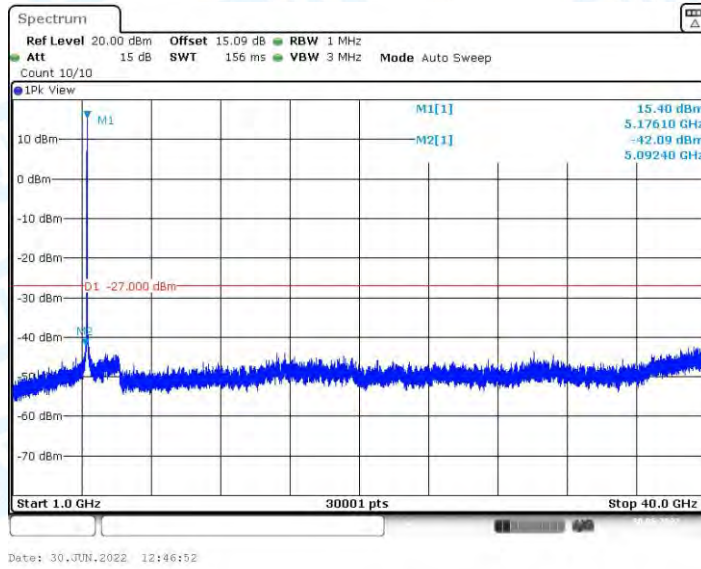
11A_Ant2_5825_30~1000



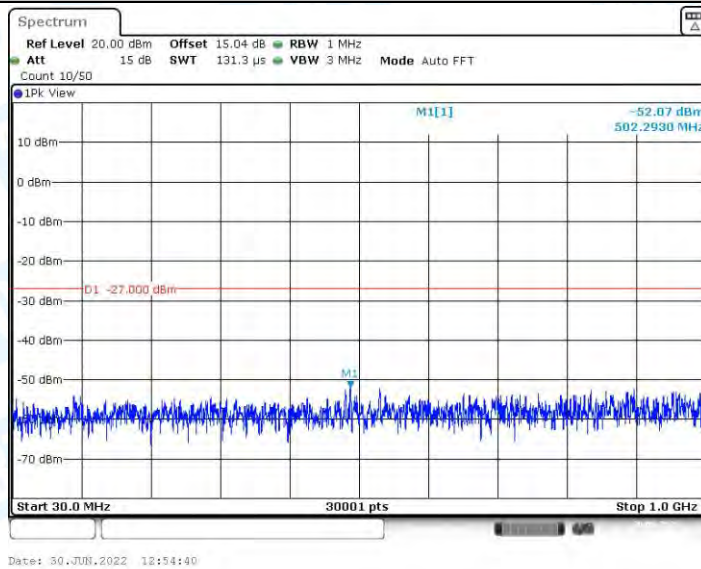
11A_Ant2_5825_1000~40000



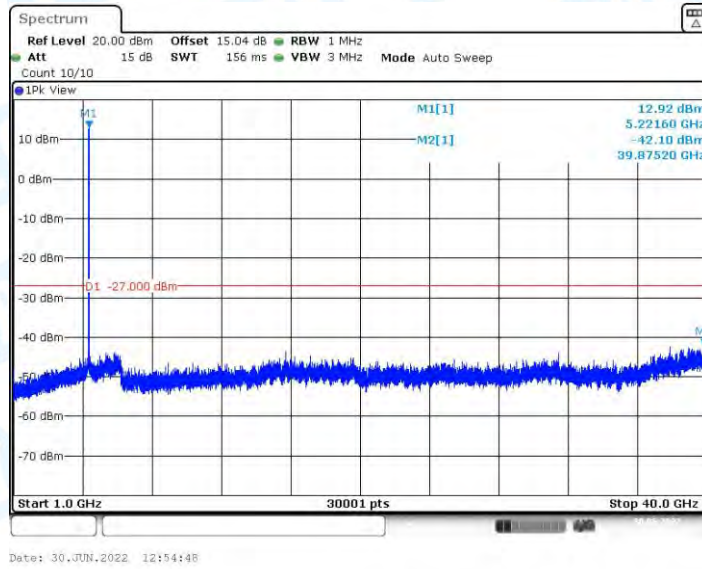
11N20MIMO_Ant2_5180_30~1000



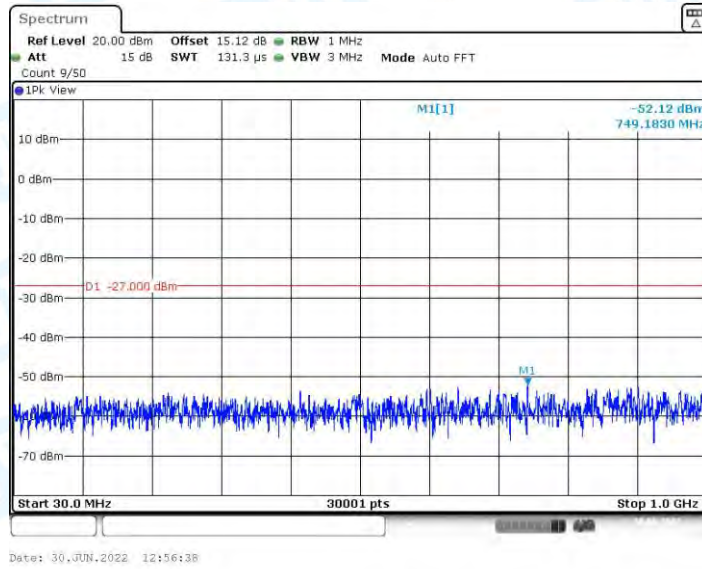
11N20MIMO_Ant2_5180_1000~40000



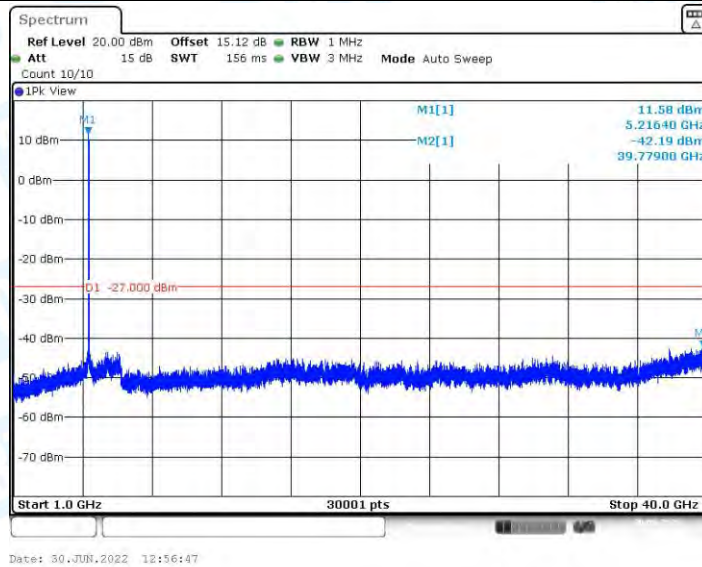
11N20MIMO_Ant1_5220_30~1000



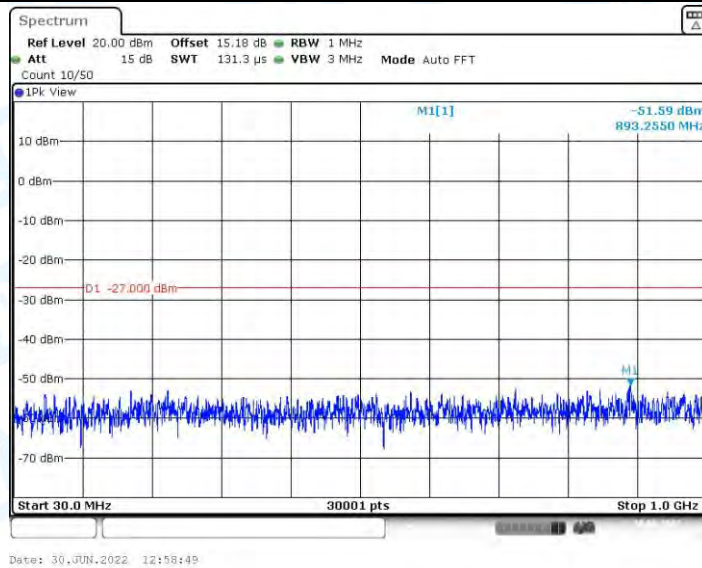
11N20MIMO_Ant1_5220_1000~40000



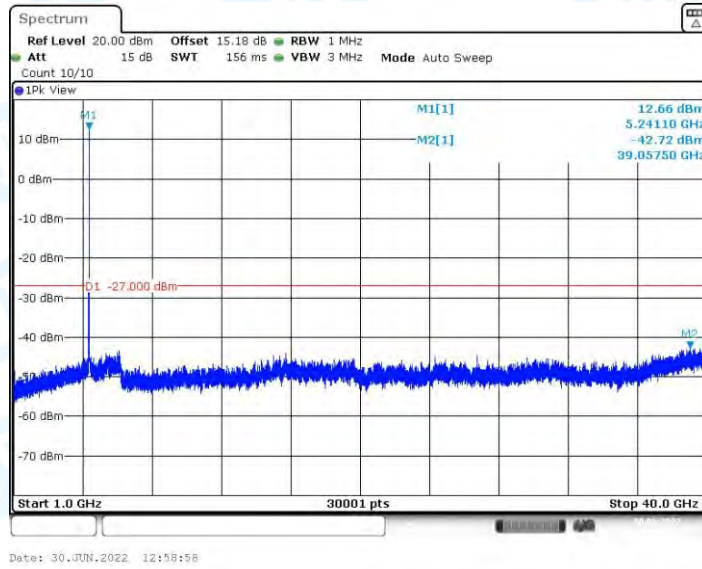
11N20MIMO_Ant2_5220_30~1000



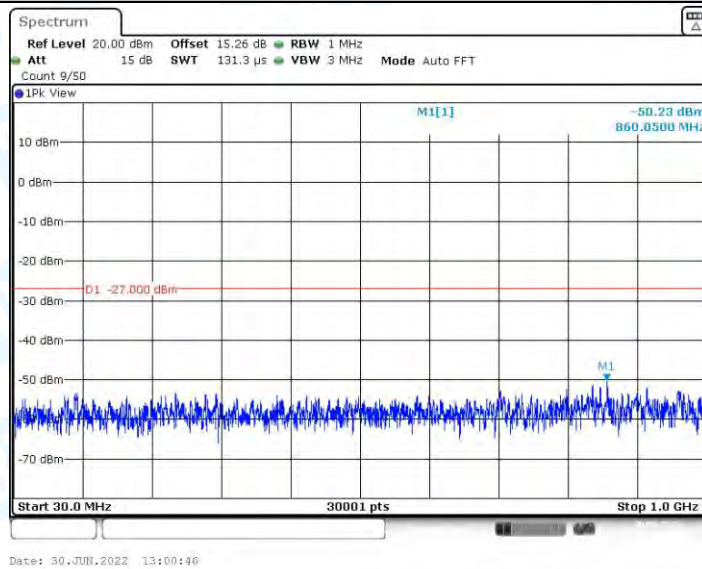
11N20MIMO_Ant2_5220_1000~40000



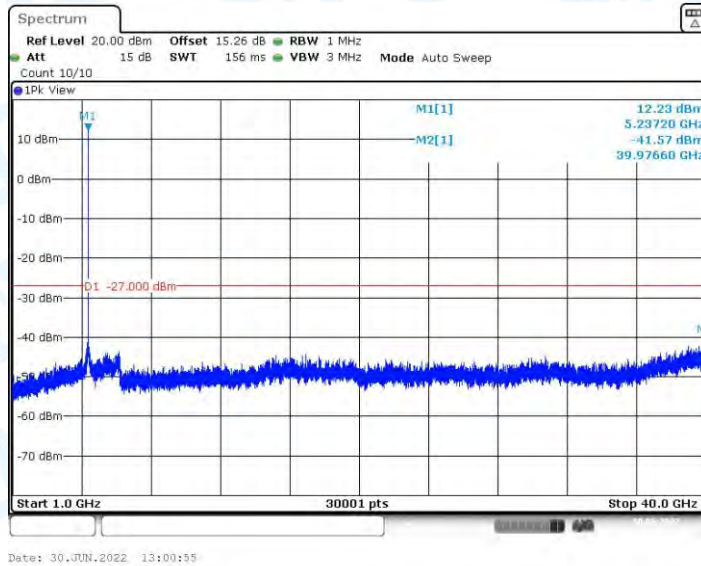
11N20MIMO_Ant1_5240_30~1000



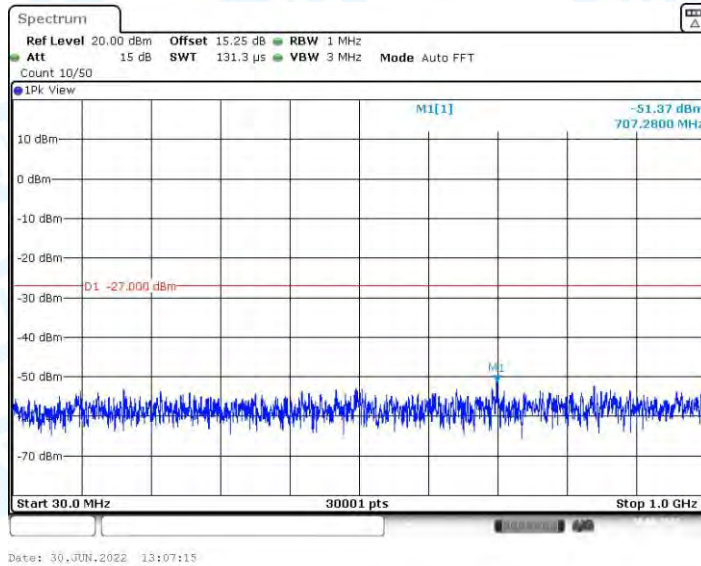
11N20MIMO_Ant1_5240_1000~40000



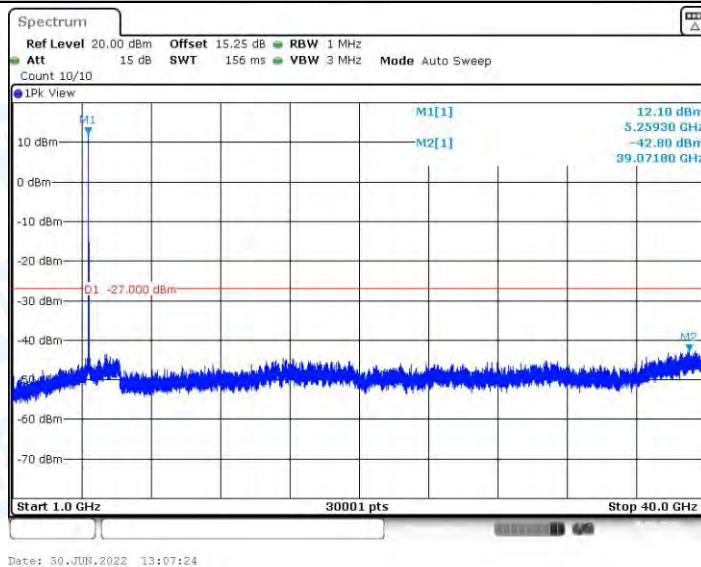
11N20MIMO_Ant2_5240_30~1000



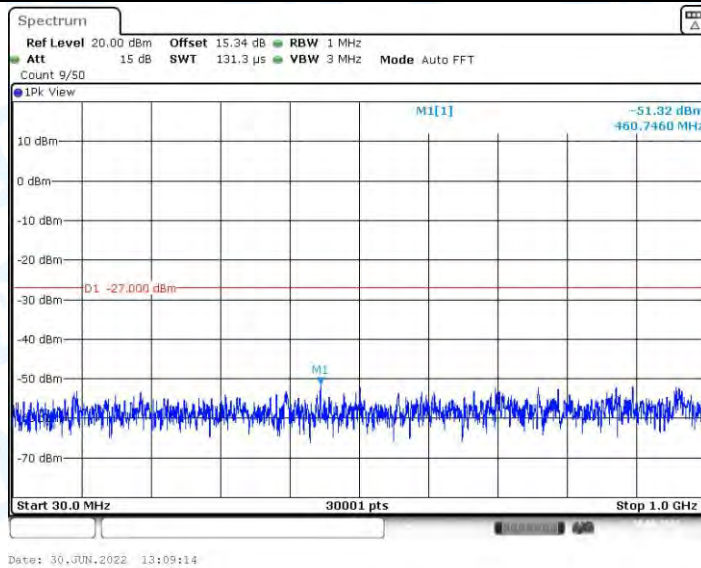
11N20MIMO_Ant2_5240_1000~40000



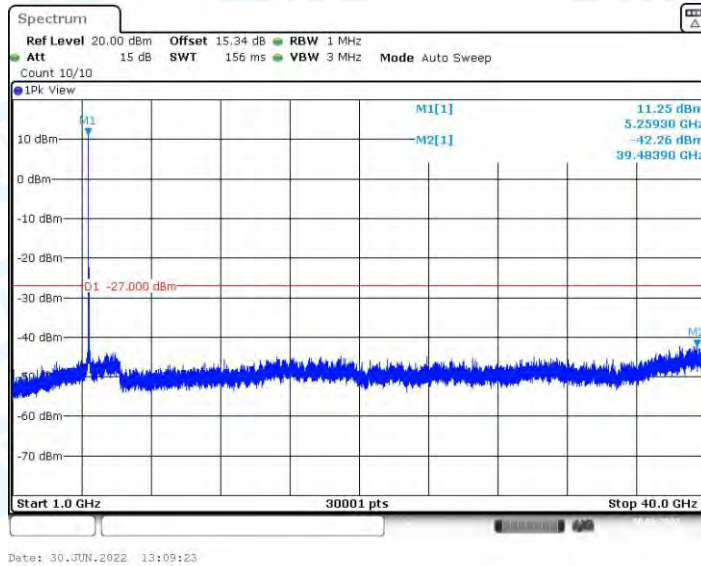
11N20MIMO_Ant1_5260_30~1000



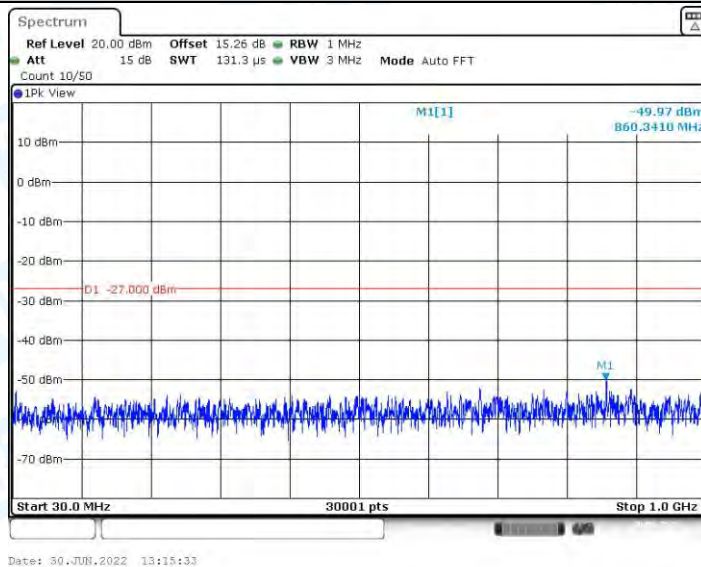
11N20MIMO_Ant1_5260_1000~40000



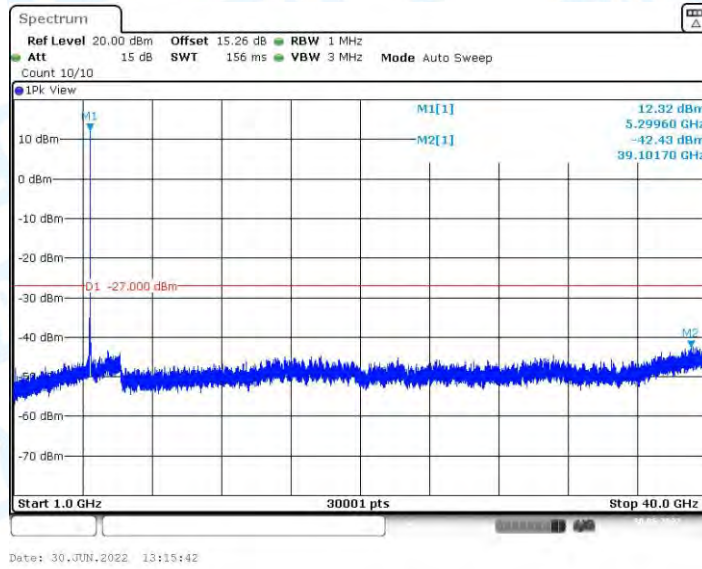
11N20MIMO_Ant2_5260_30~1000



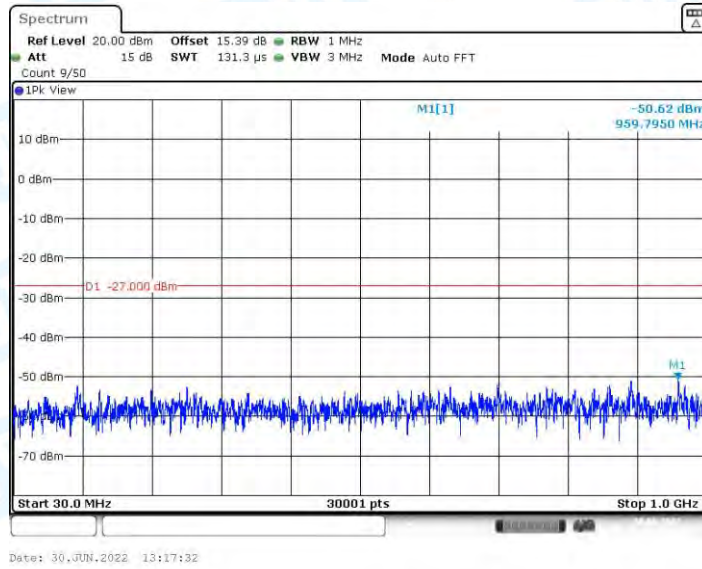
11N20MIMO_Ant2_5260_1000~40000



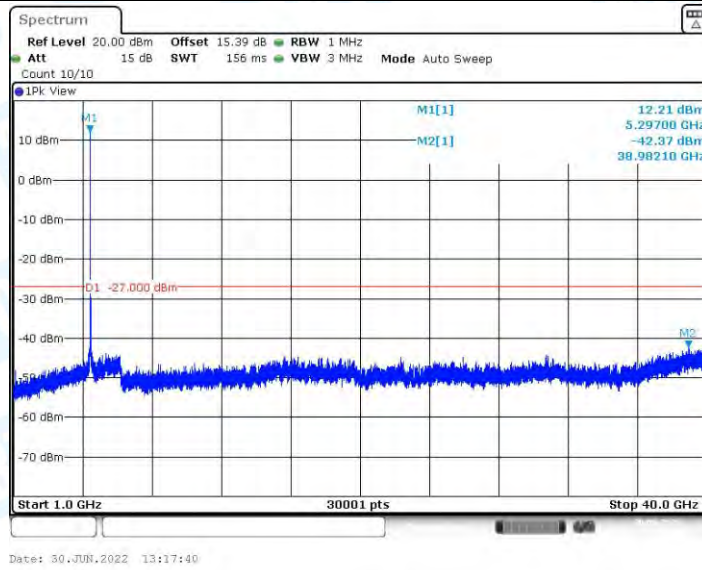
11N20MIMO_Ant1_5300_30~1000



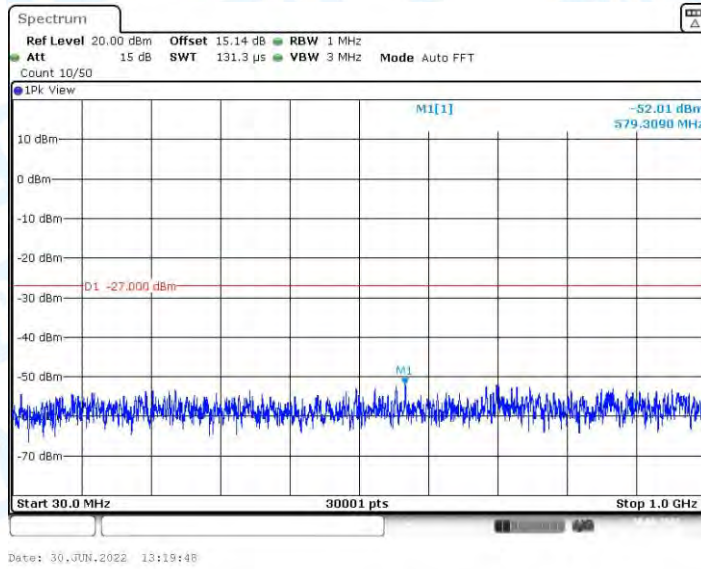
11N20MIMO_Ant1_5300_1000~40000



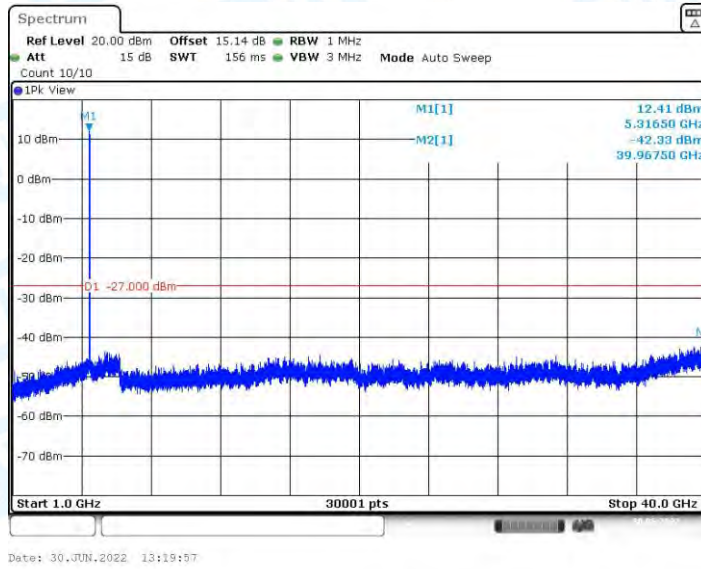
11N20MIMO_Ant2_5300_30~1000



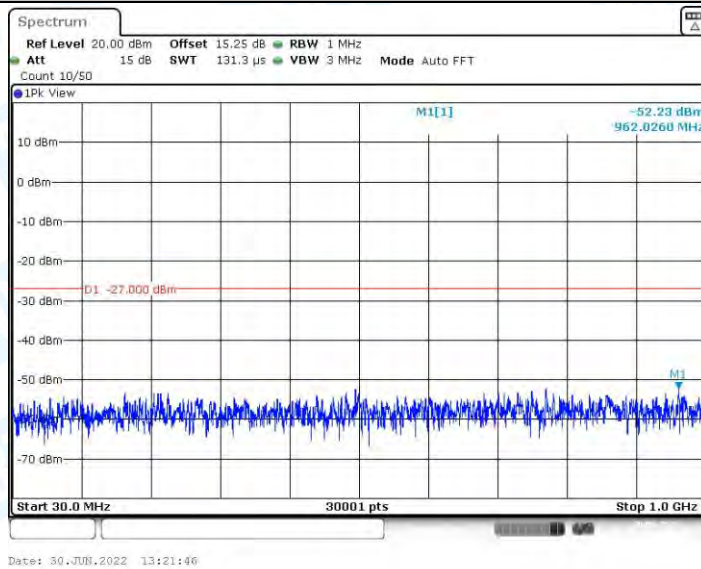
11N20MIMO_Ant2_5300_1000~40000



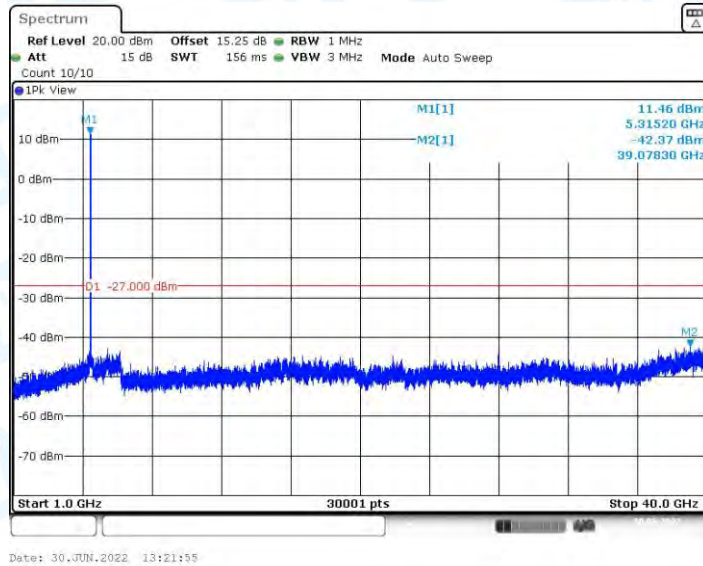
11N20MIMO_Ant1_5320_30~1000



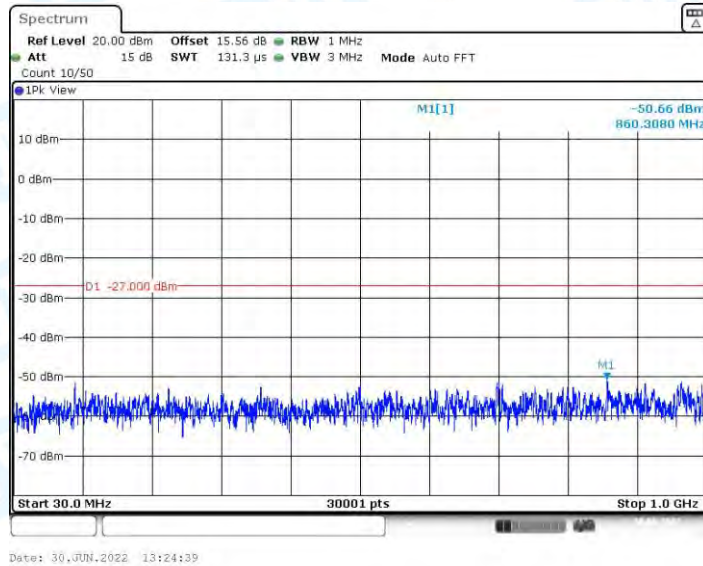
11N20MIMO_Ant1_5320_1000~40000



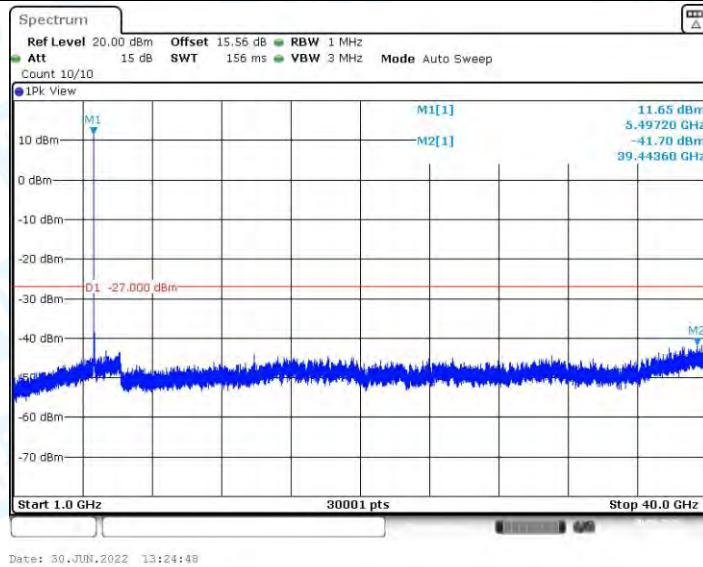
11N20MIMO_Ant2_5320_30~1000



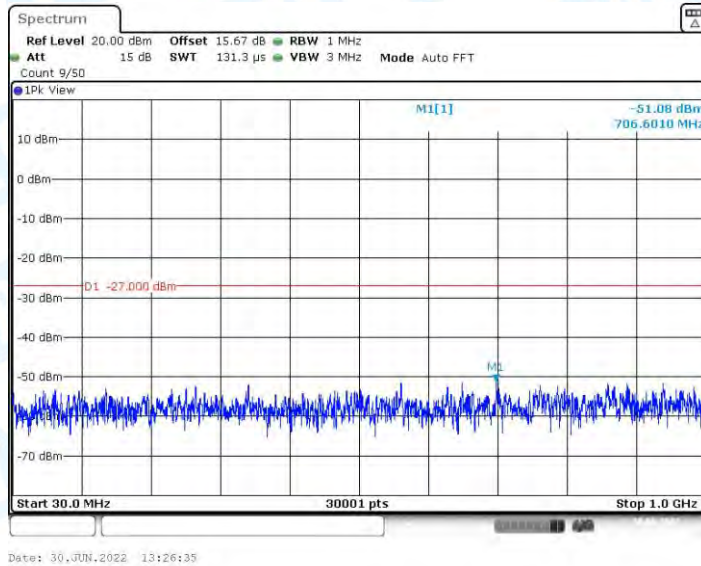
11N20MIMO_Ant2_5320_1000~40000



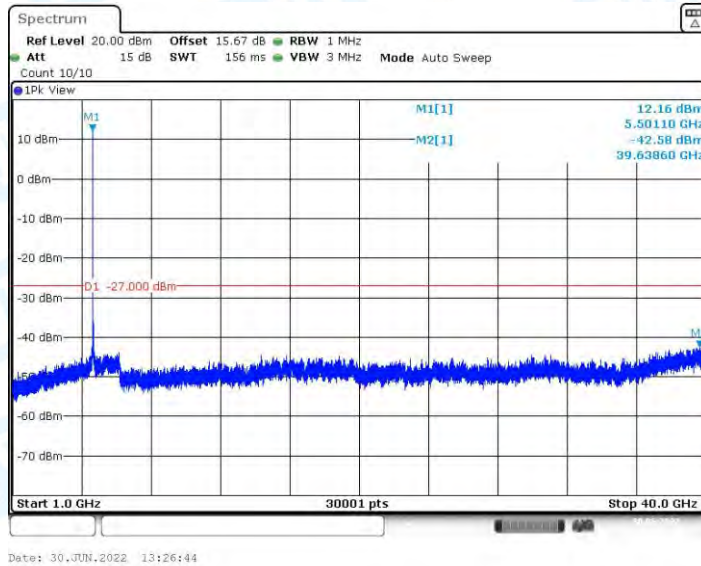
11N20MIMO_Ant1_5500_30~1000



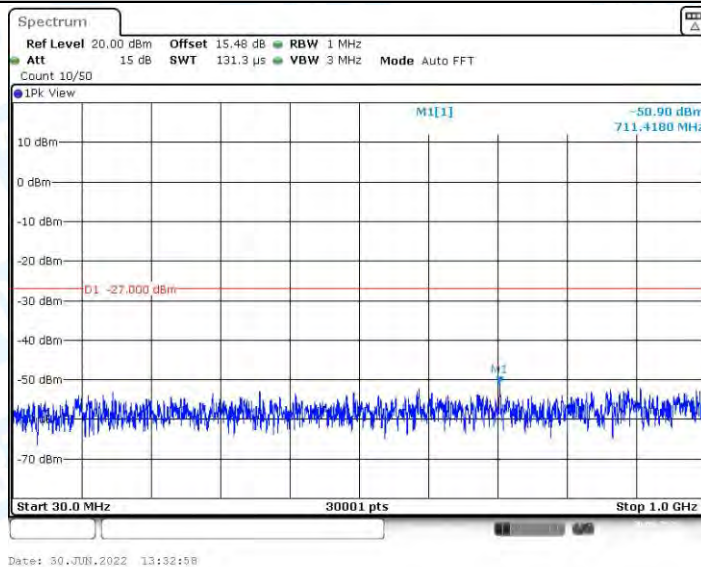
11N20MIMO_Ant1_5500_1000~40000



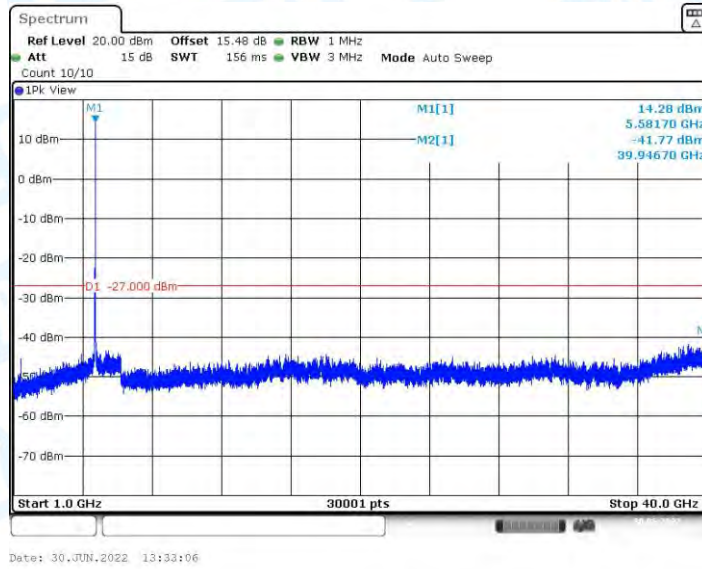
11N20MIMO_Ant2_5500_30~1000



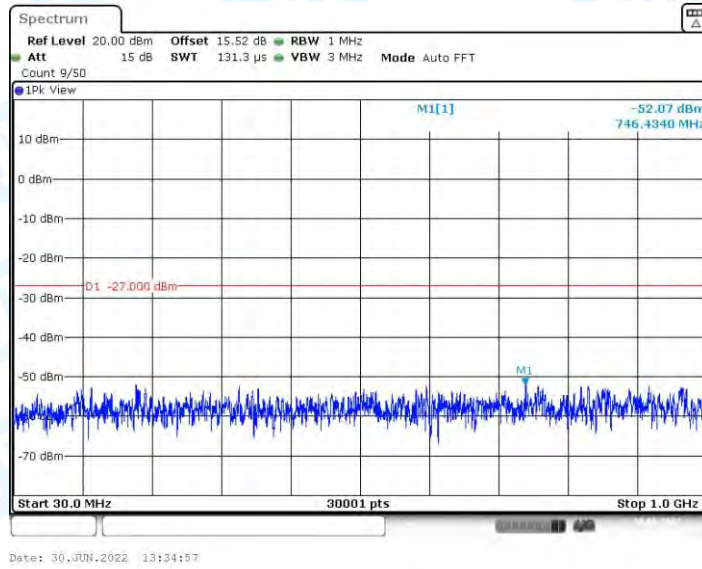
11N20MIMO_Ant2_5500_1000~40000



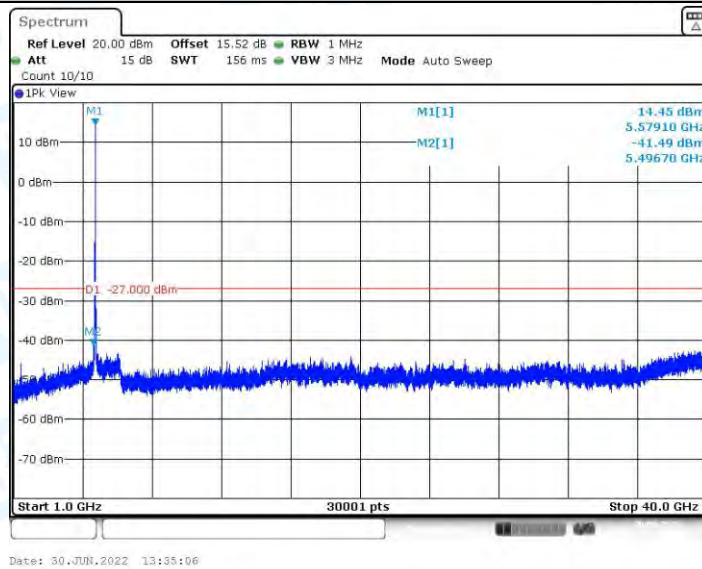
11N20MIMO_Ant1_5580_30~1000



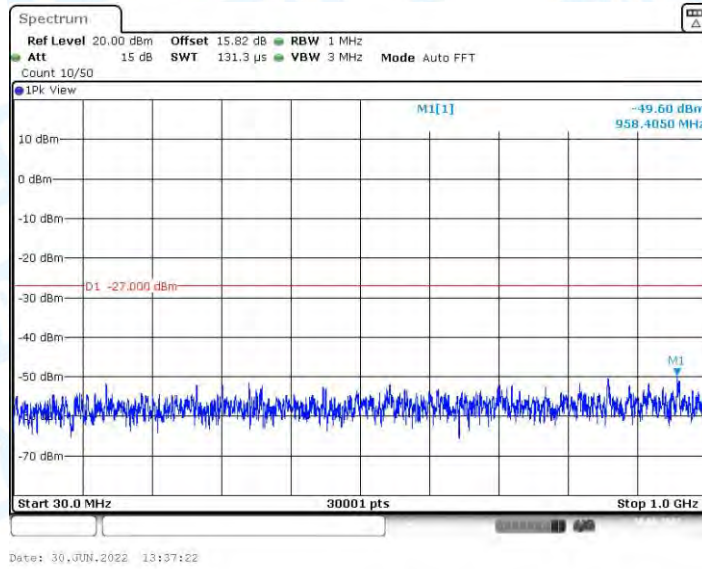
11N20MIMO_Ant1_5580_1000~40000



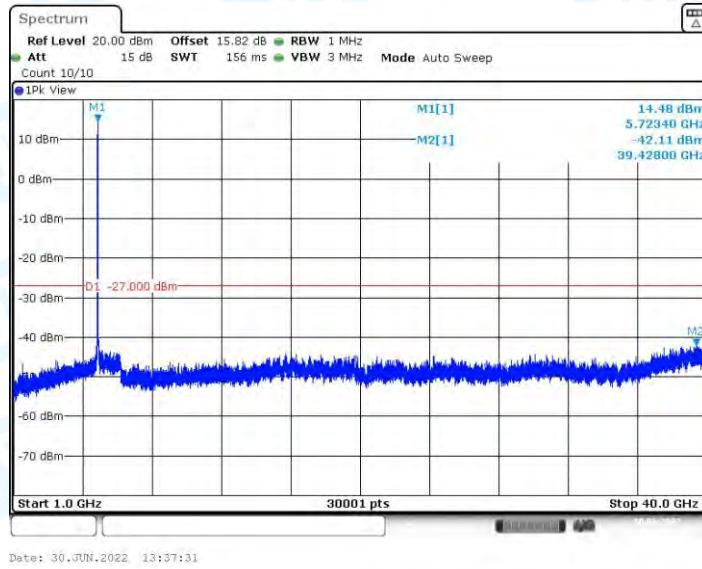
11N20MIMO_Ant2_5580_30~1000



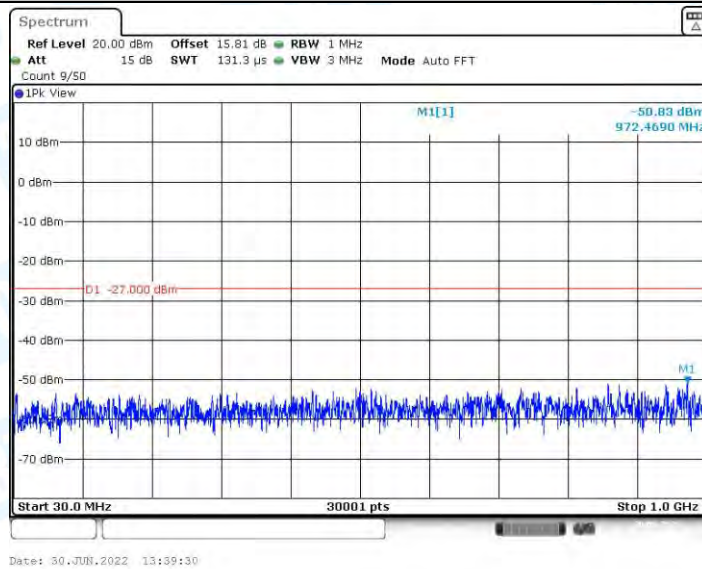
11N20MIMO_Ant2_5580_1000~40000



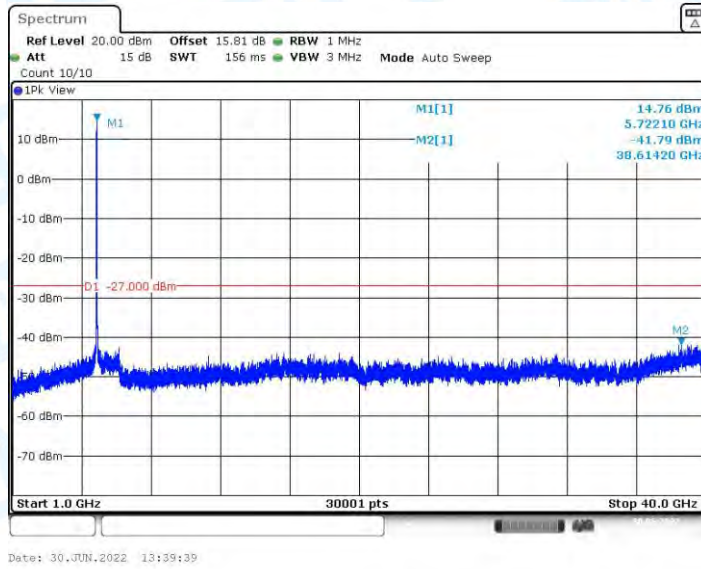
11N20MIMO_Ant1_5720_30~1000



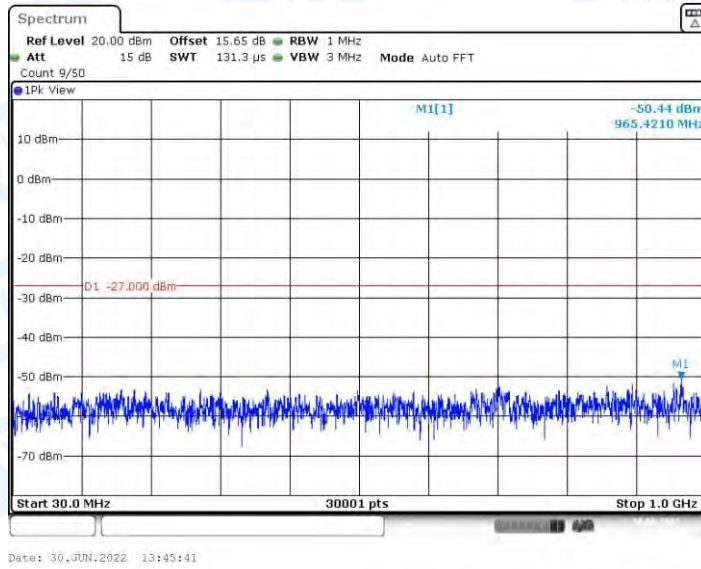
11N20MIMO_Ant1_5720_1000~40000



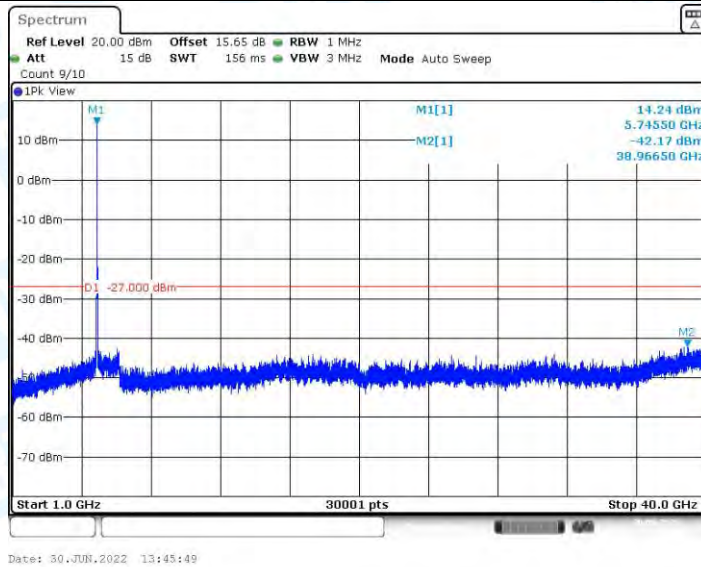
11N20MIMO_Ant2_5720_30~1000



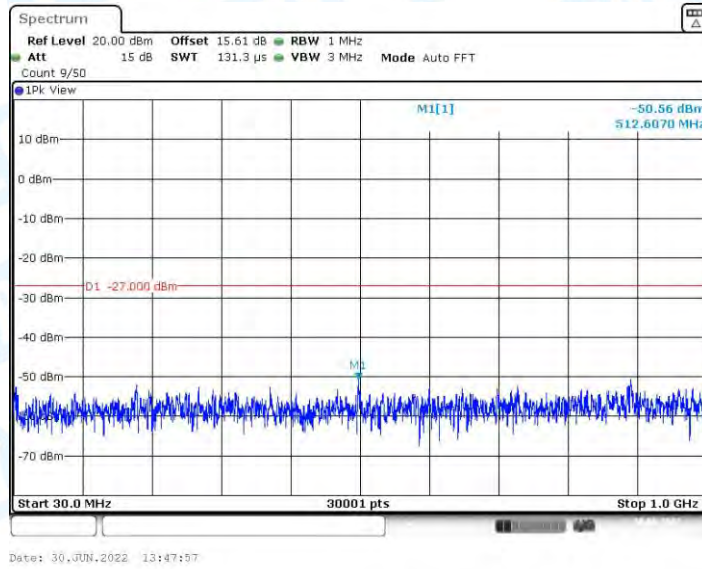
11N20MIMO_Ant2_5720_1000~40000



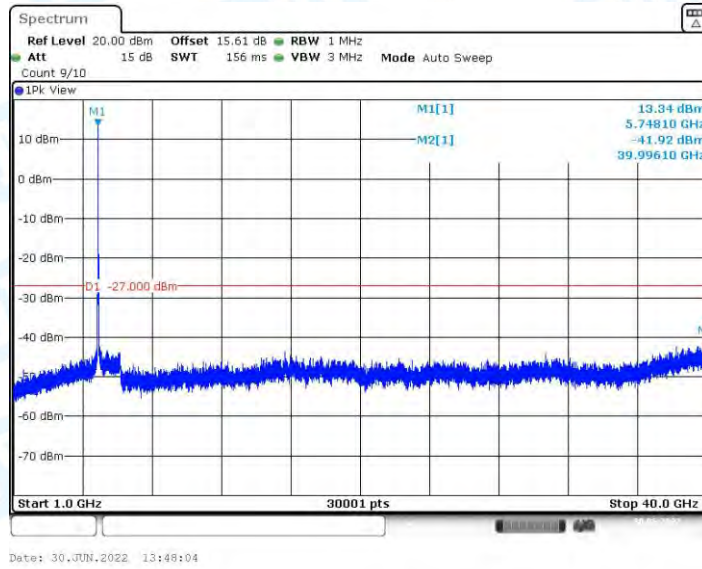
11N20MIMO_Ant1_5745_30~1000



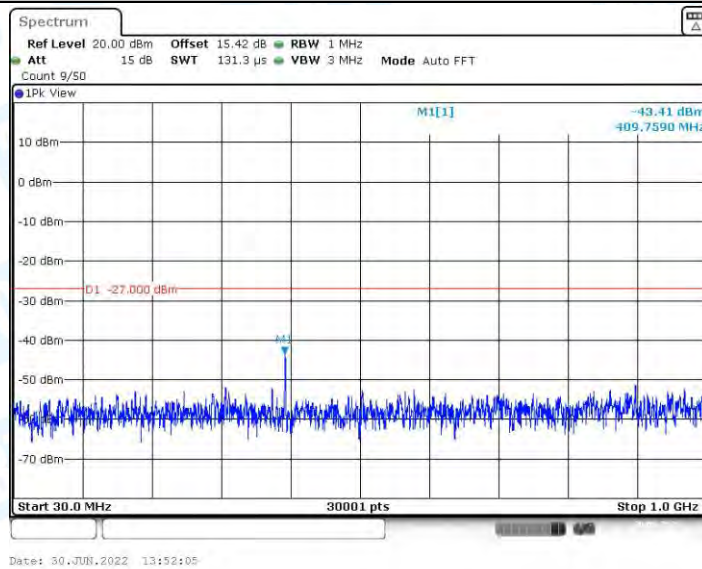
11N20MIMO_Ant1_5745_1000~40000



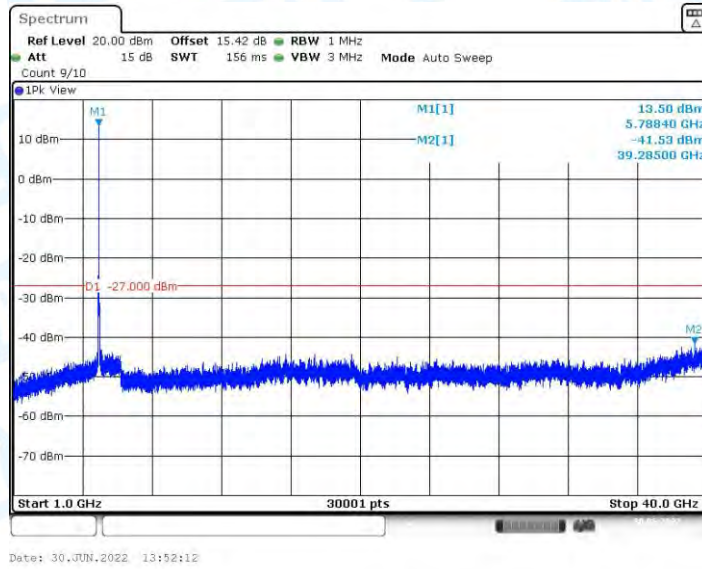
11N20MIMO_Ant2_5745_30~1000



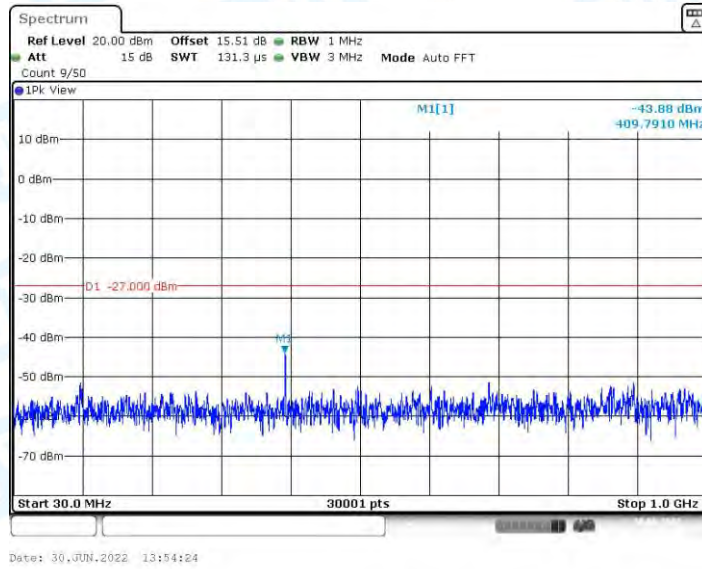
11N20MIMO_Ant2_5745_1000~40000



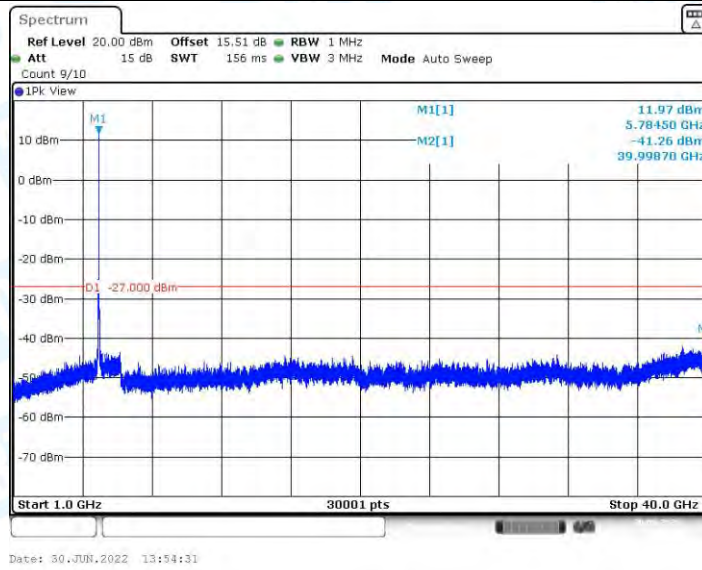
11N20MIMO_Ant1_5785_30~1000



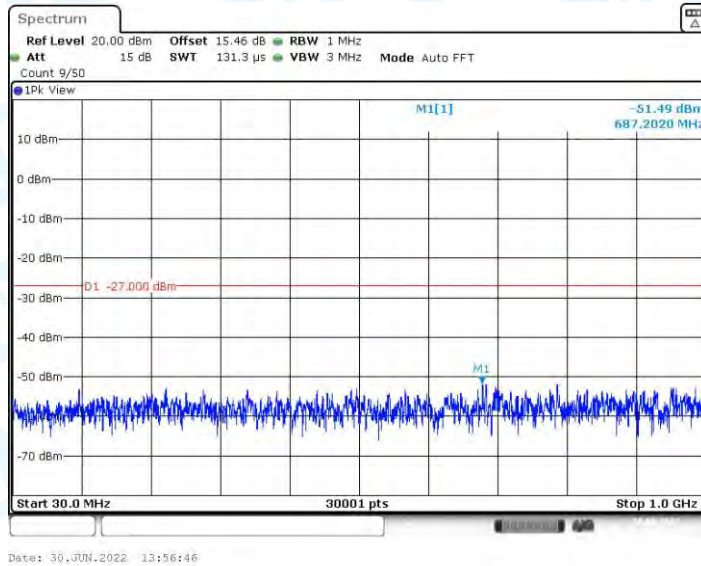
11N20MIMO_Ant1_5785_1000~40000



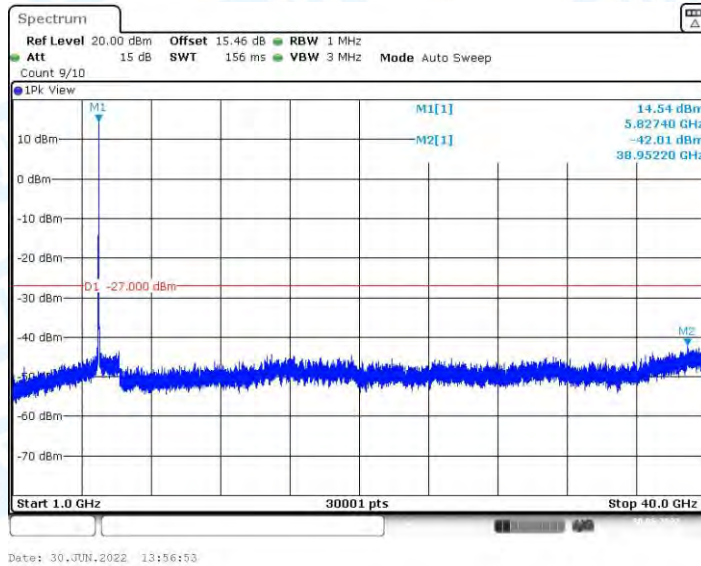
11N20MIMO_Ant2_5785_30~1000



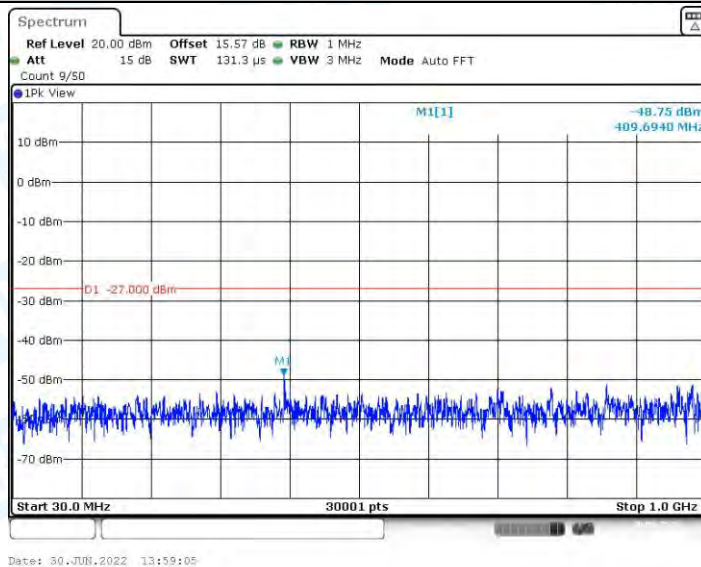
11N20MIMO_Ant2_5785_1000~40000



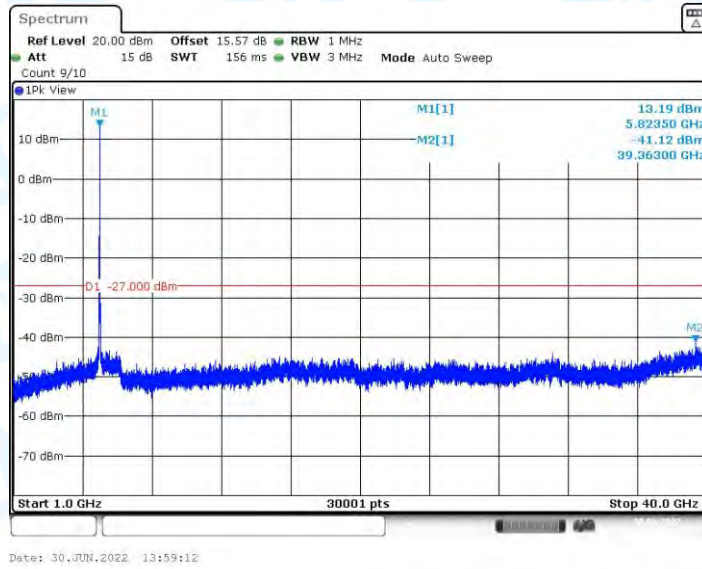
11N20MIMO_Ant1_5825_30~1000



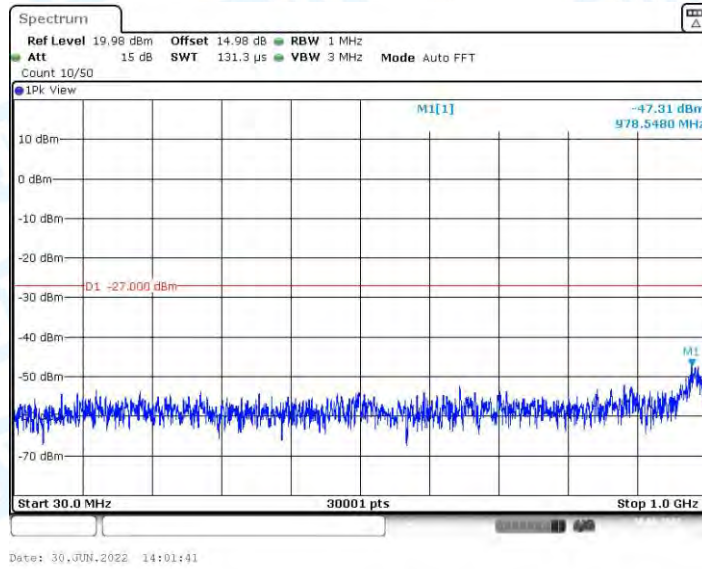
11N20MIMO_Ant1_5825_1000~40000



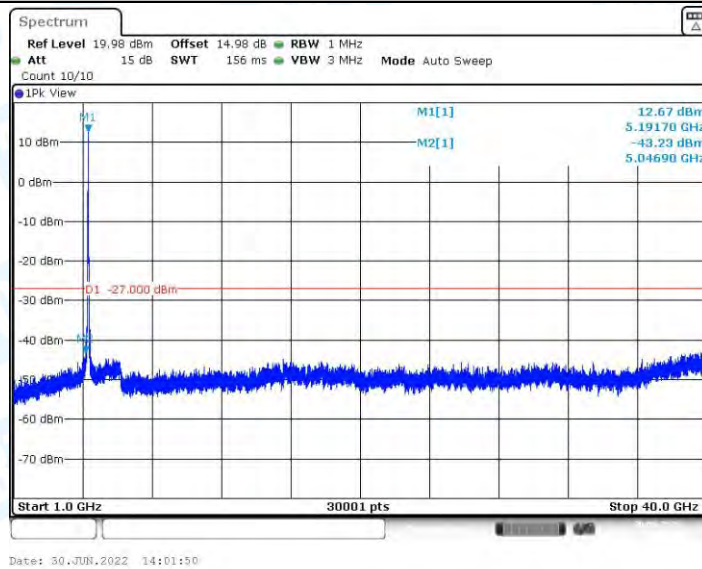
11N20MIMO_Ant2_5825_30~1000



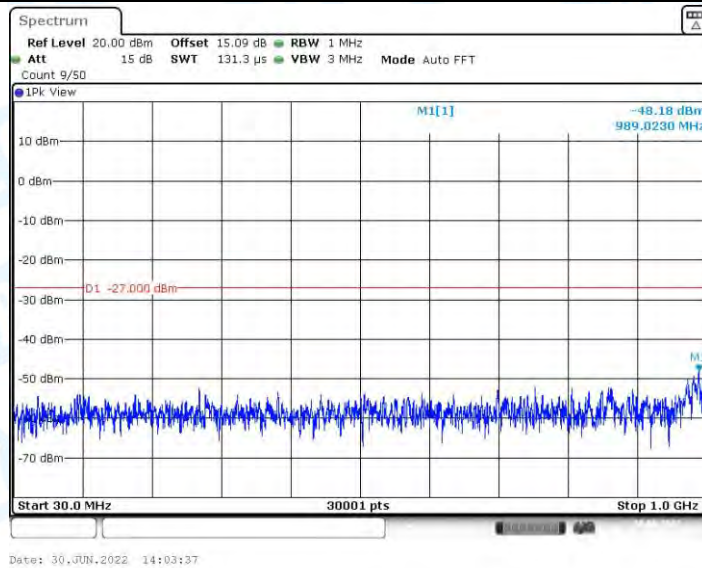
11N20MIMO_Ant2_5825_1000~40000



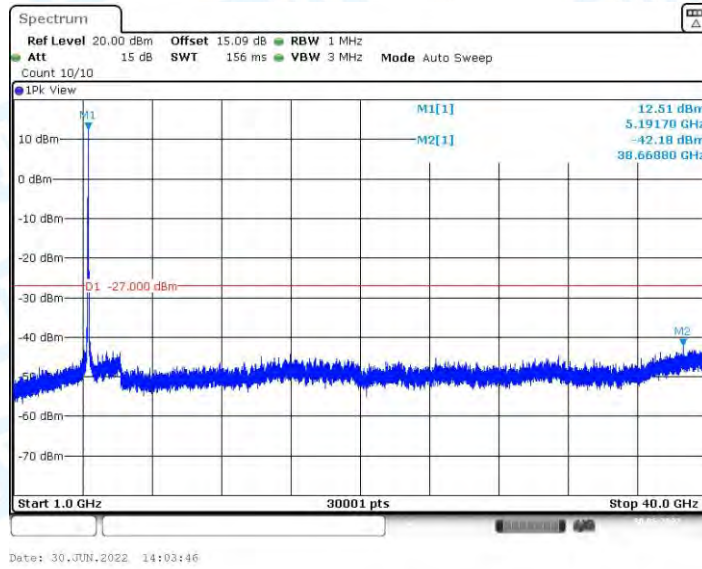
11N40MIMO_Ant1_5190_30~1000



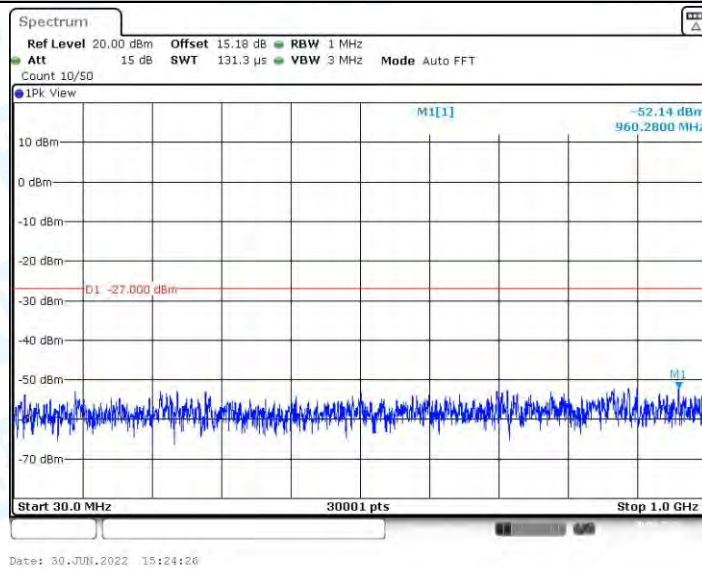
11N40MIMO_Ant1_5190_1000~40000



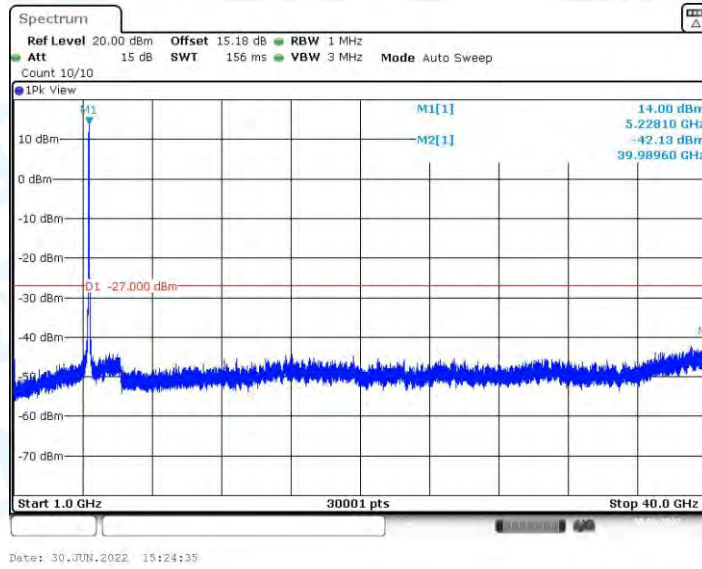
11N40MIMO_Ant2_5190_30~1000



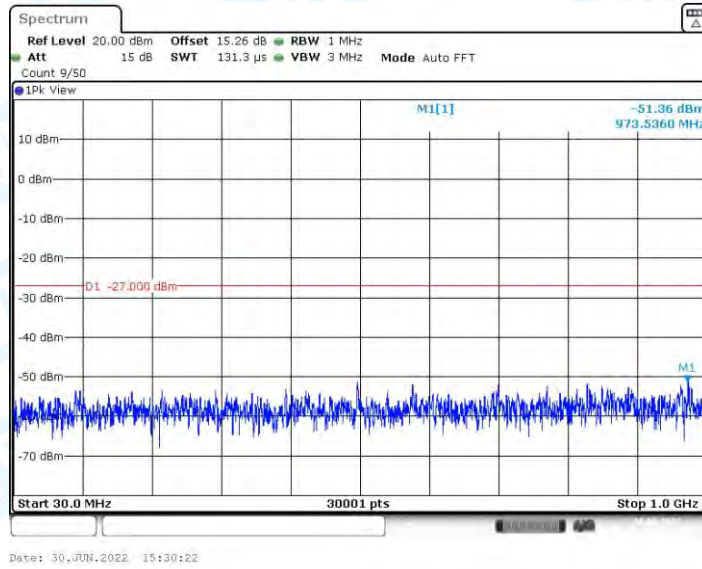
11N40MIMO_Ant2_5190_1000~40000



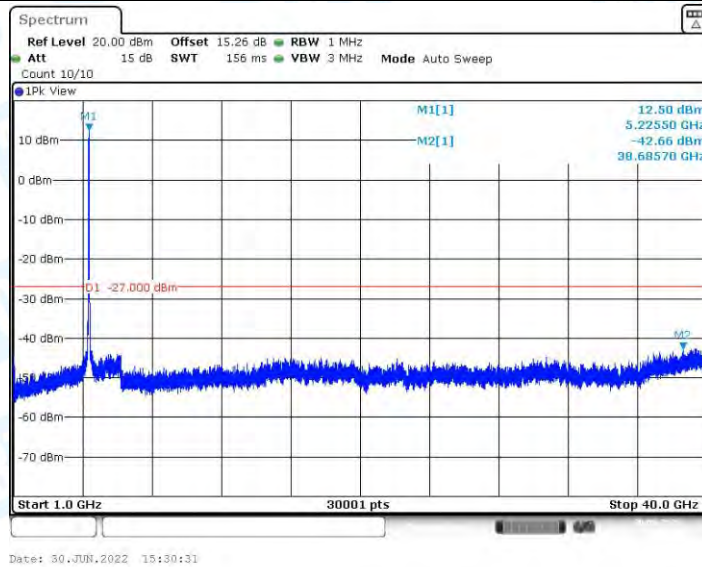
11N40MIMO_Ant1_5230_30~1000



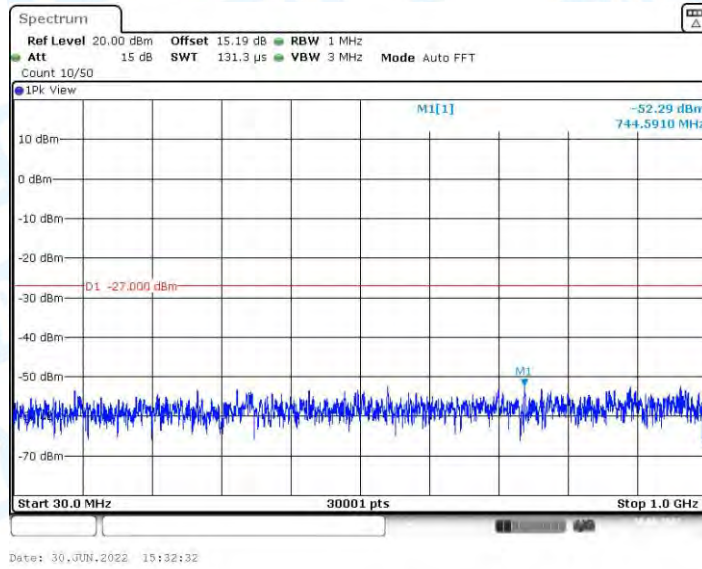
11N40MIMO_Ant1_5230_1000~40000



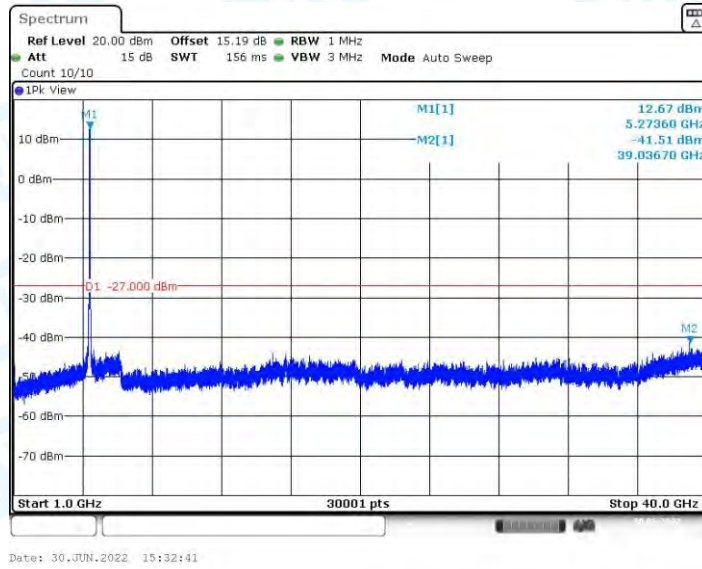
11N40MIMO_Ant2_5230_30~1000



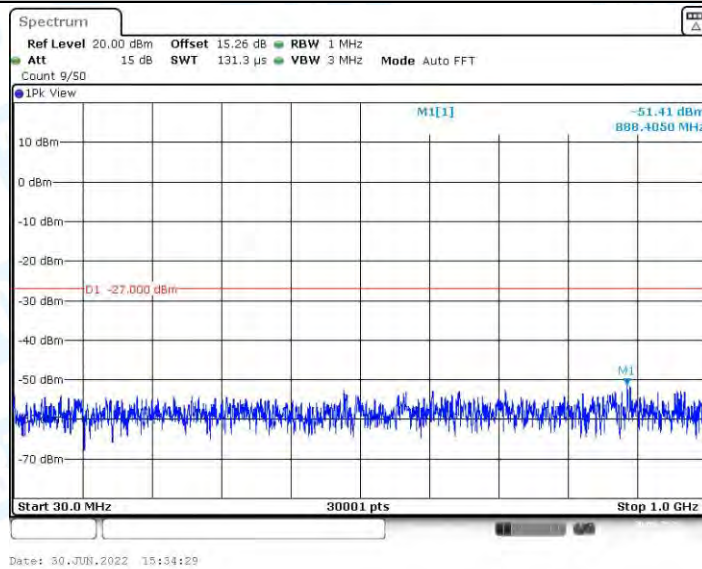
11N40MIMO_Ant2_5230_1000~40000



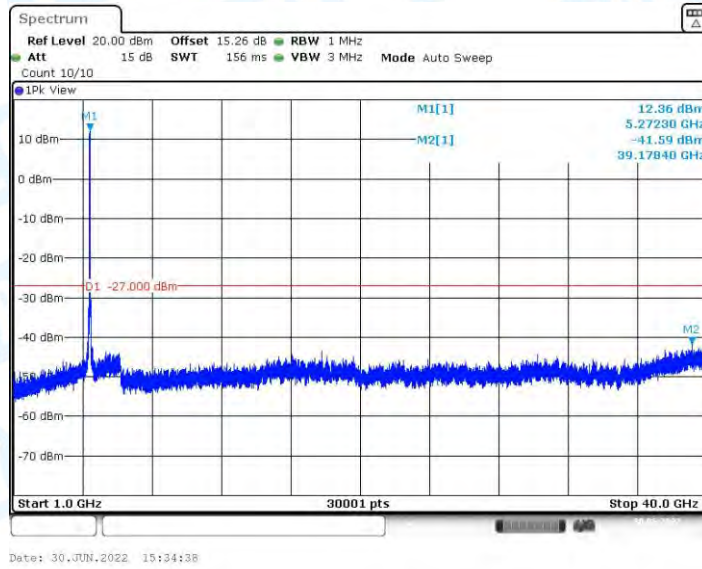
11N40MIMO_Ant1_5270_30~1000



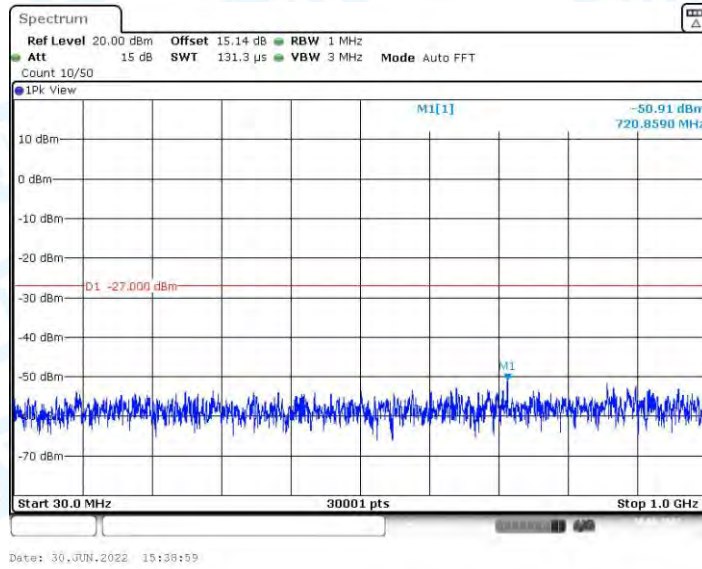
11N40MIMO_Ant1_5270_1000~40000



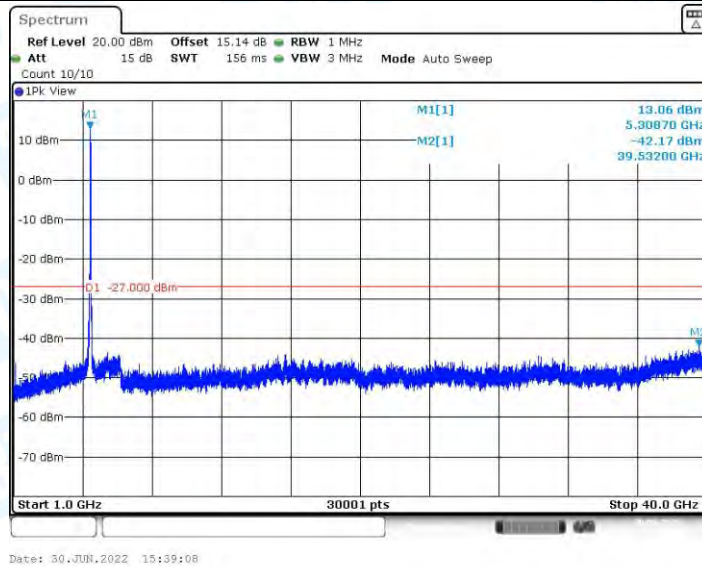
11N40MIMO_Ant2_5270_30~1000



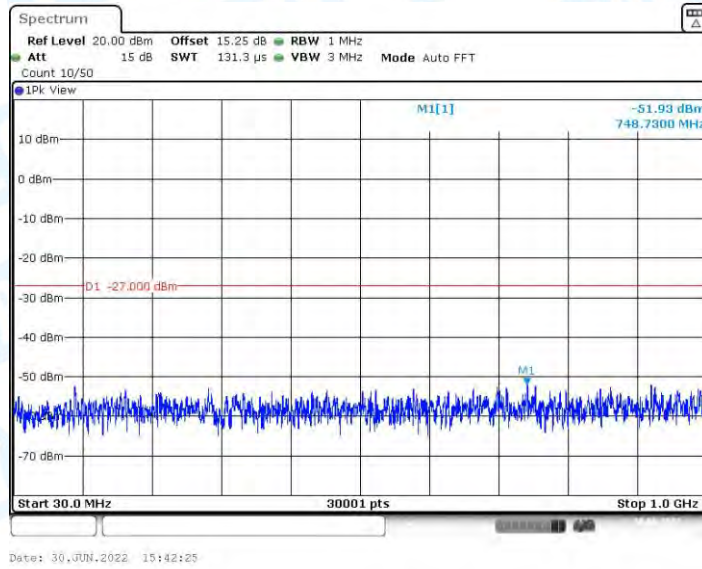
11N40MIMO_Ant2_5270_1000~40000



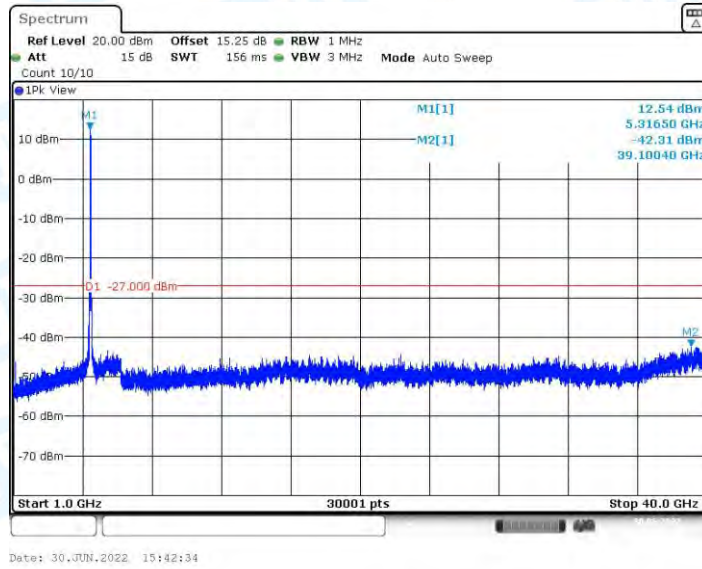
11N40MIMO_Ant1_5310_30~1000



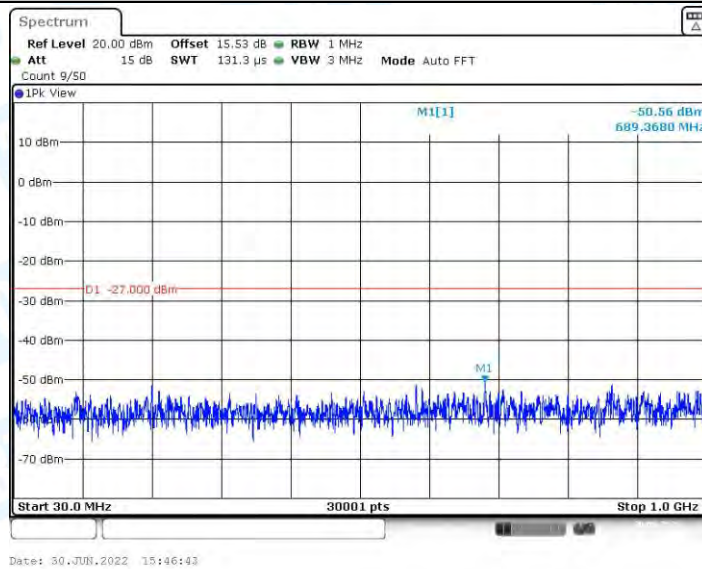
11N40MIMO_Ant1_5310_1000~40000



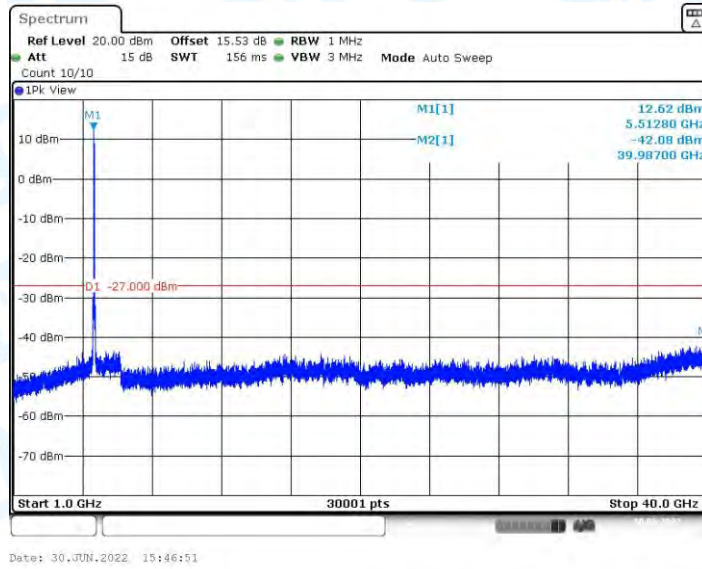
11N40MIMO_Ant2_5310_30~1000



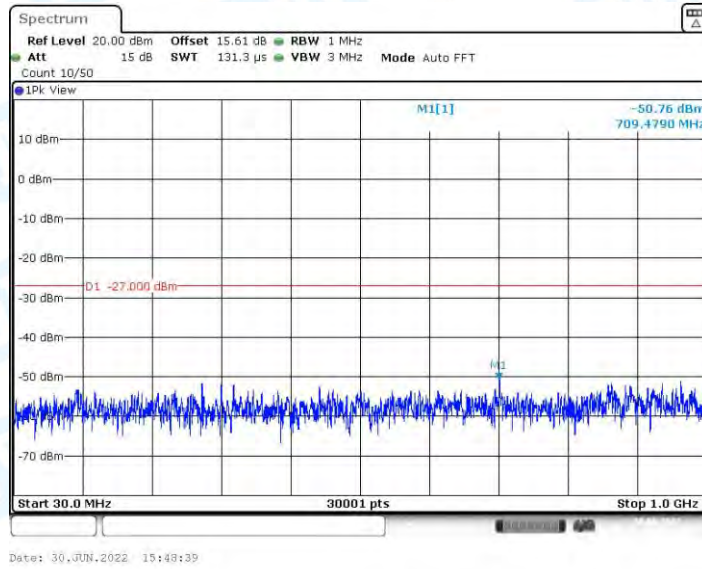
11N40MIMO_Ant2_5310_1000~40000



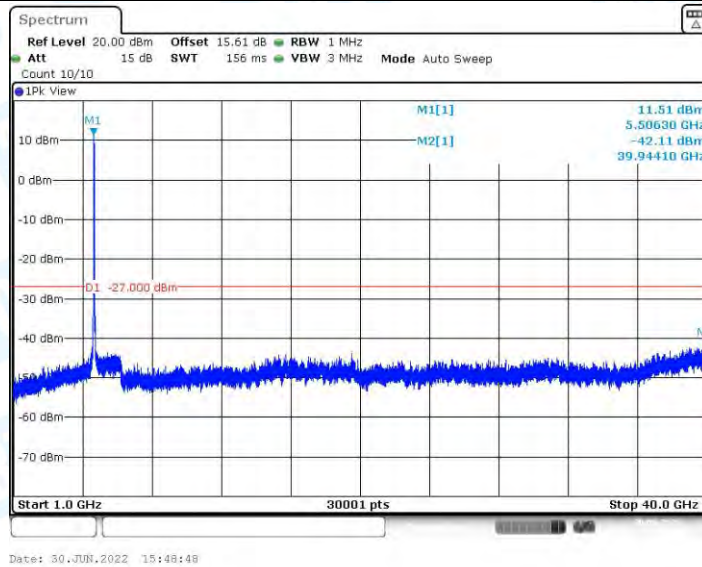
11N40MIMO_Ant1_5510_30~1000



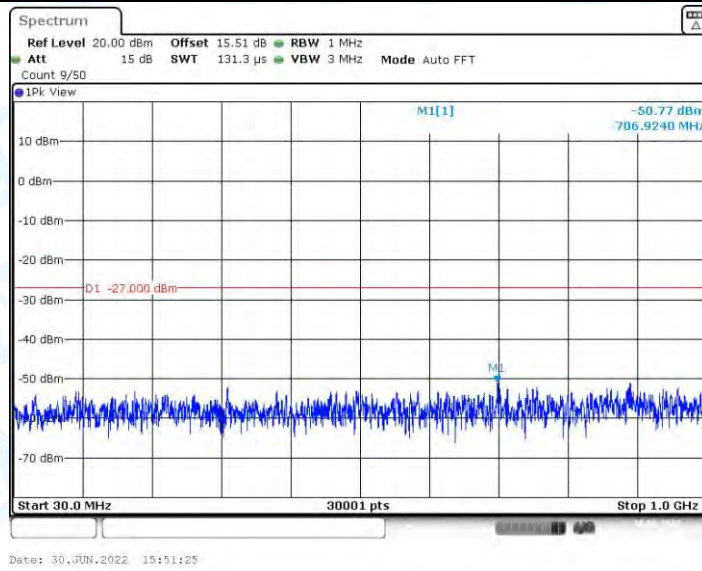
11N40MIMO_Ant1_5510_1000~40000



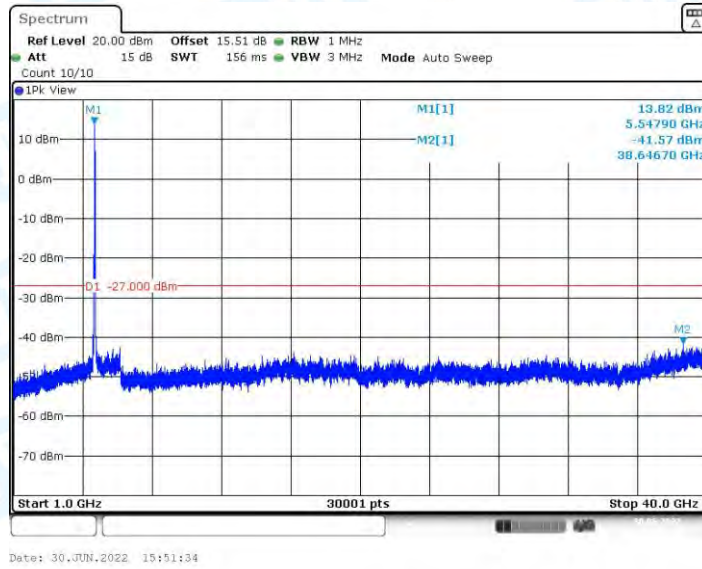
11N40MIMO_Ant2_5510_30~1000



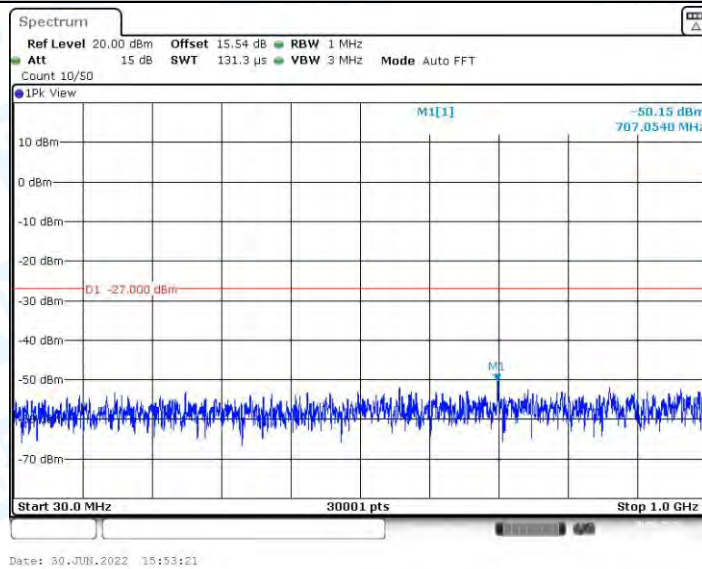
11N40MIMO_Ant2_5510_1000~40000



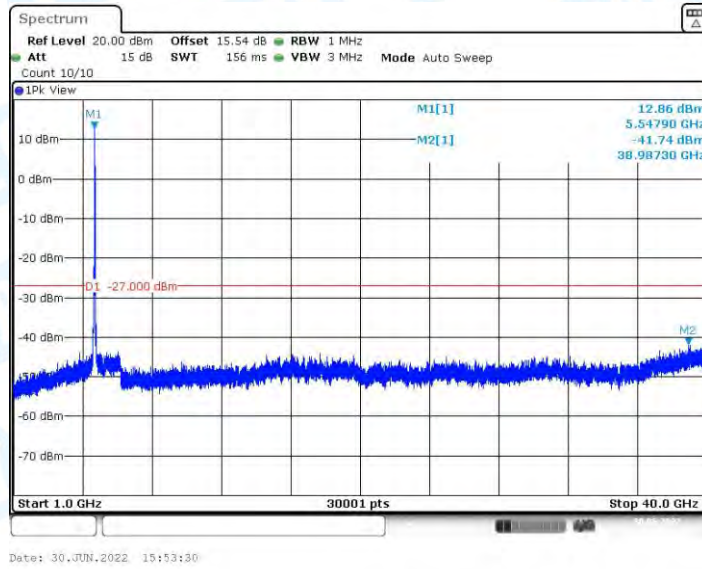
11N40MIMO_Ant1_5550_30~1000



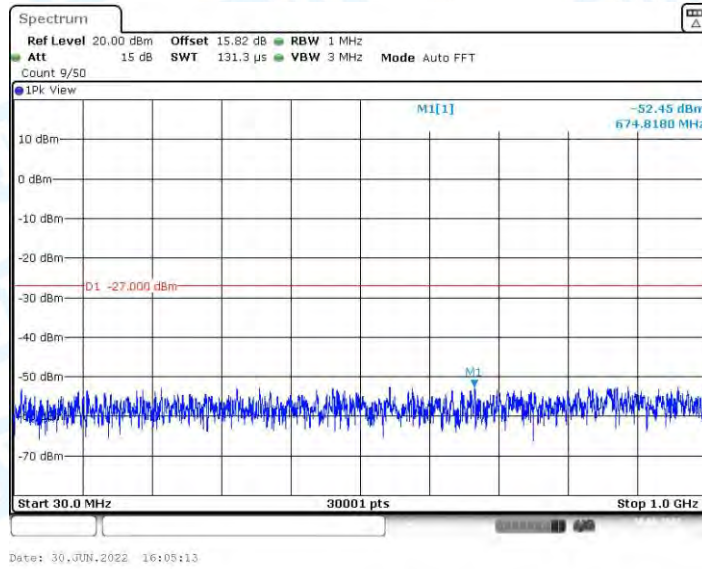
11N40MIMO_Ant1_5550_1000~40000



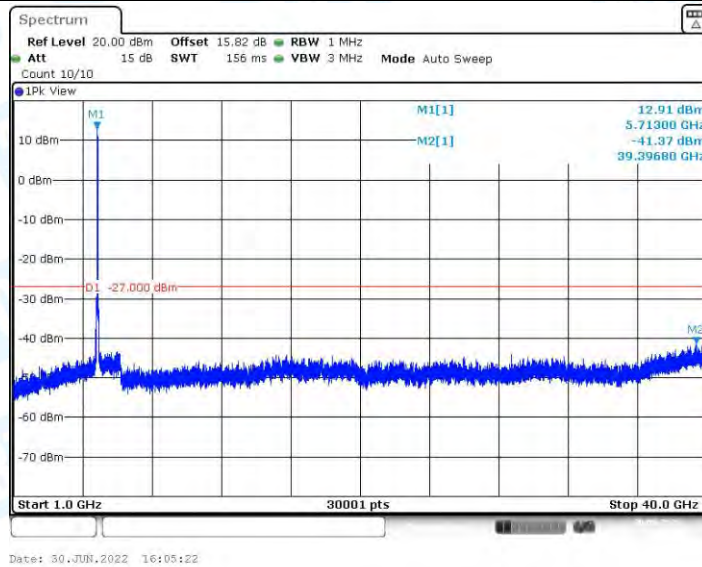
11N40MIMO_Ant2_5550_30~1000



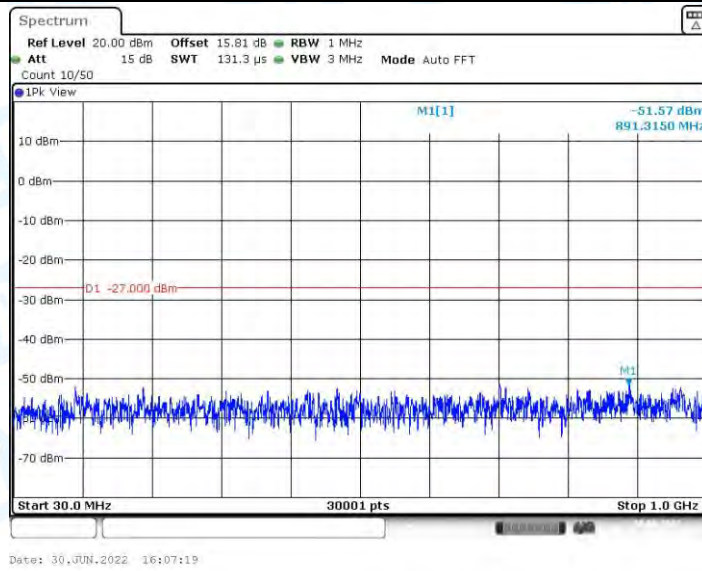
11N40MIMO_Ant2_5550_1000~40000



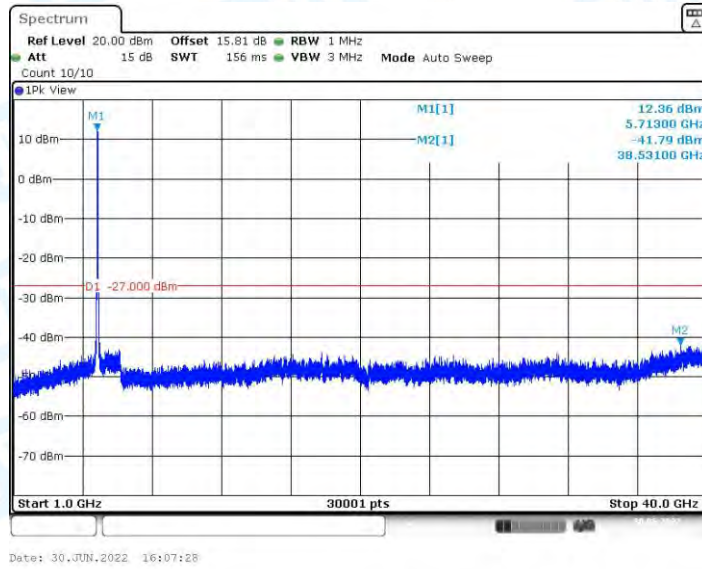
11N40MIMO_Ant1_5710_30~1000



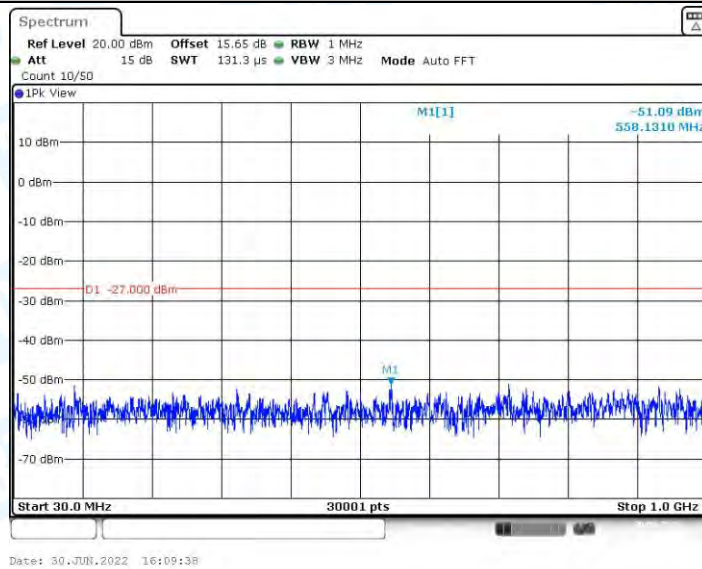
11N40MIMO_Ant1_5710_1000~40000



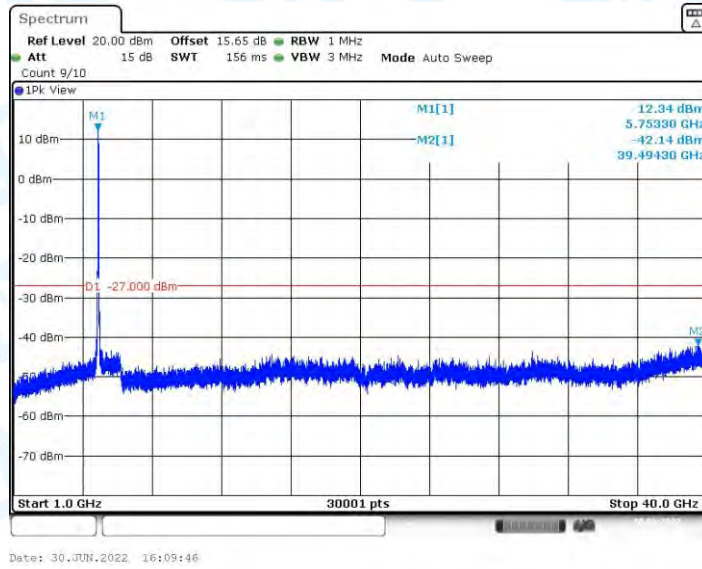
11N40MIMO_Ant2_5710_30~1000



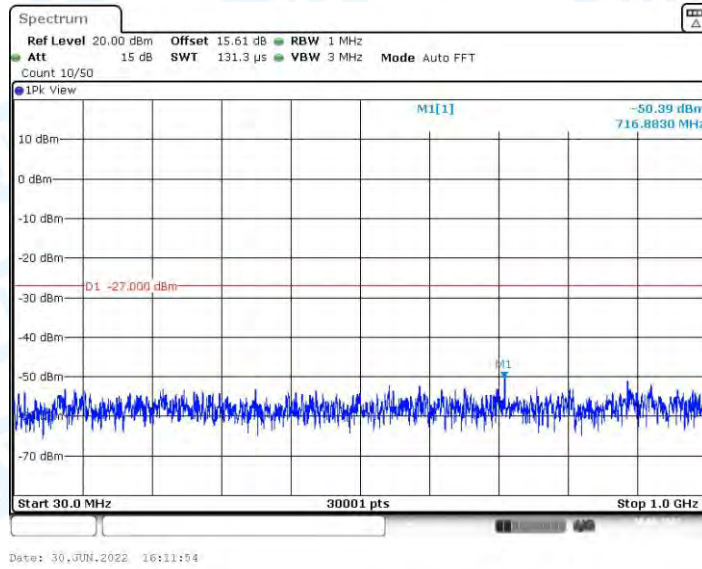
11N40MIMO_Ant2_5710_1000~40000



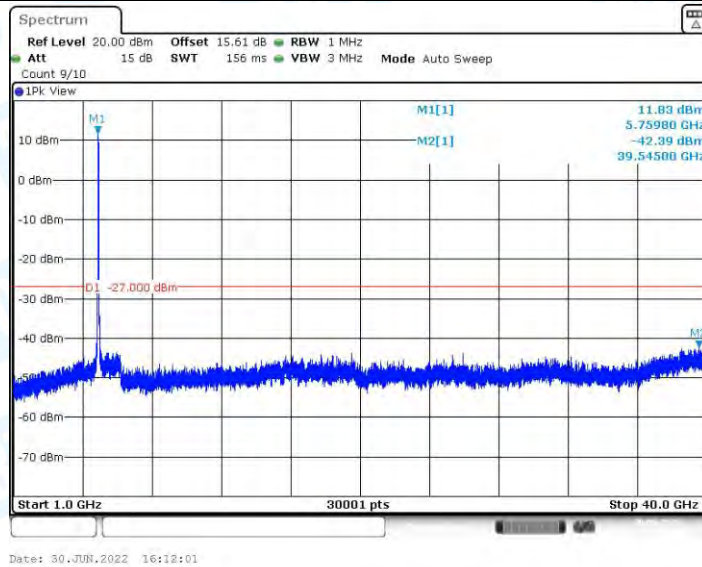
11N40MIMO_Ant1_5755_30~1000



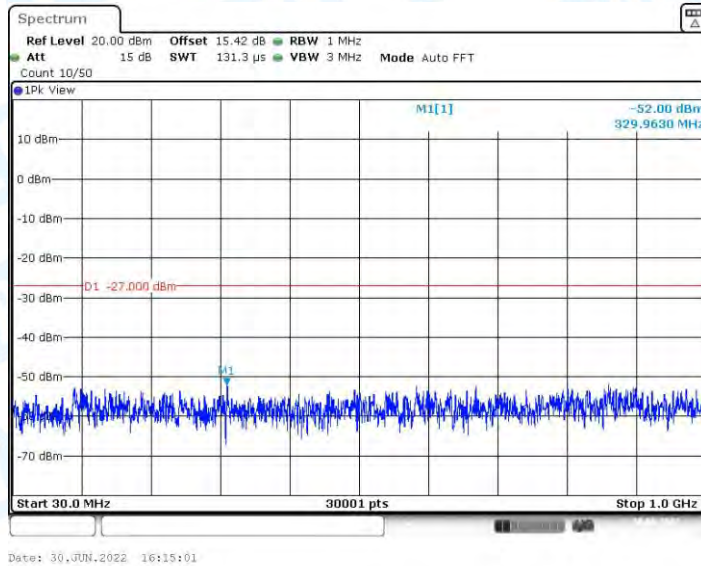
11N40MIMO_Ant1_5755_1000~40000



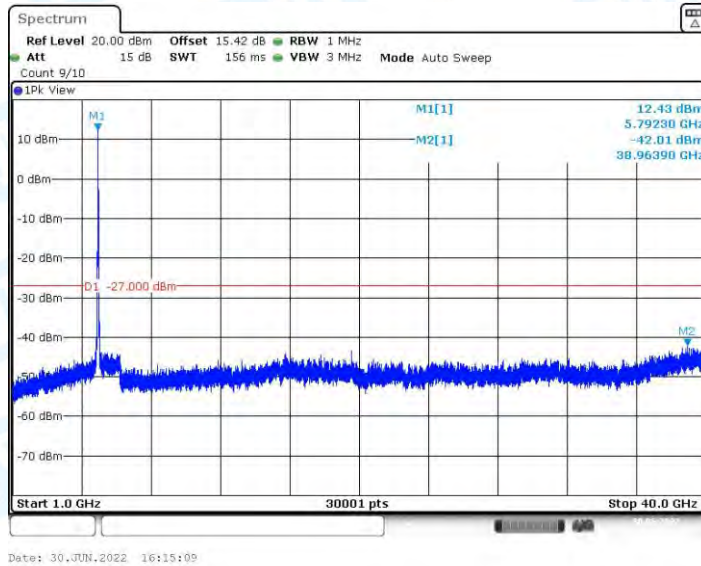
11N40MIMO_Ant2_5755_30~1000



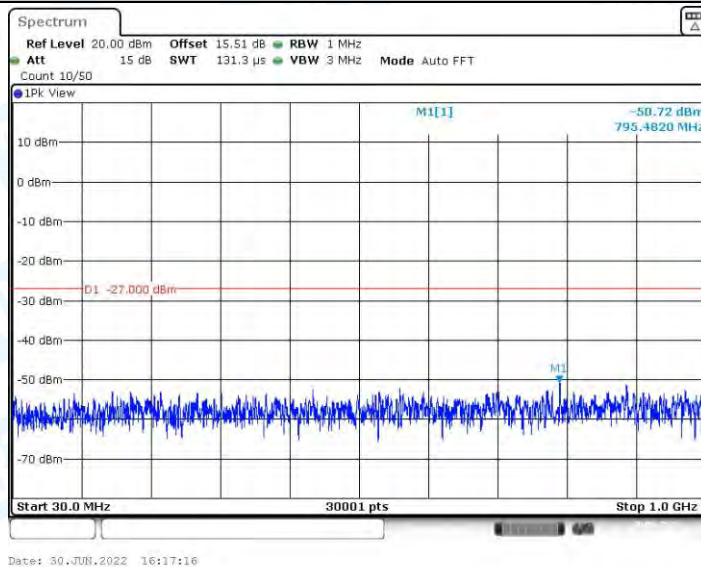
11N40MIMO_Ant2_5755_1000~40000



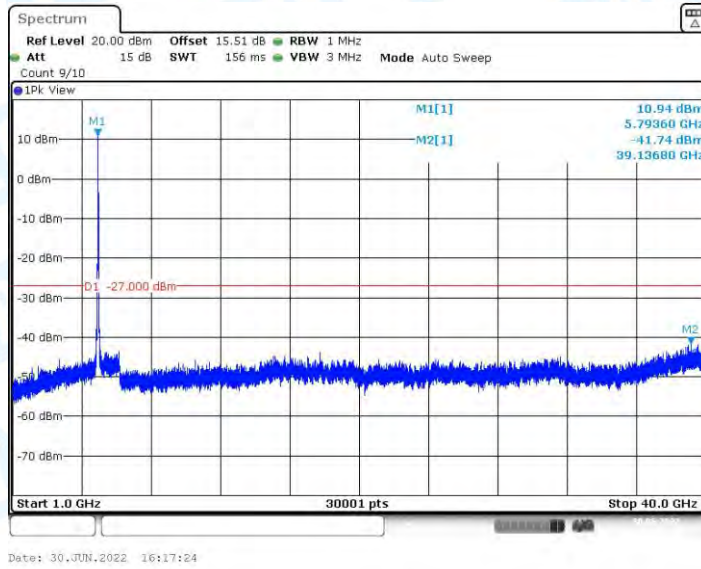
11N40MIMO_Ant1_5795_30~1000



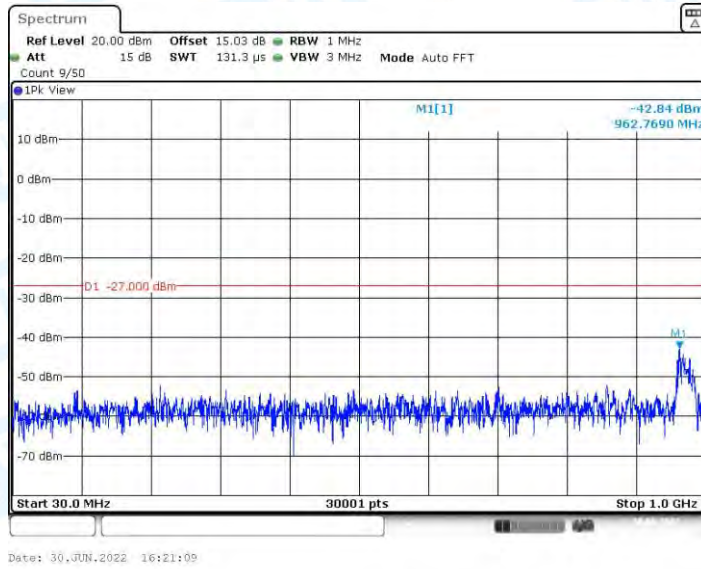
11N40MIMO_Ant1_5795_1000~40000



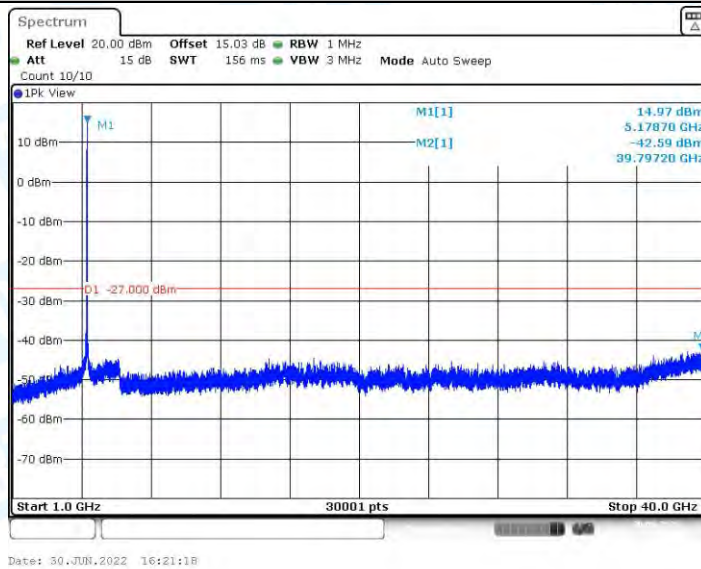
11N40MIMO_Ant2_5795_30~1000



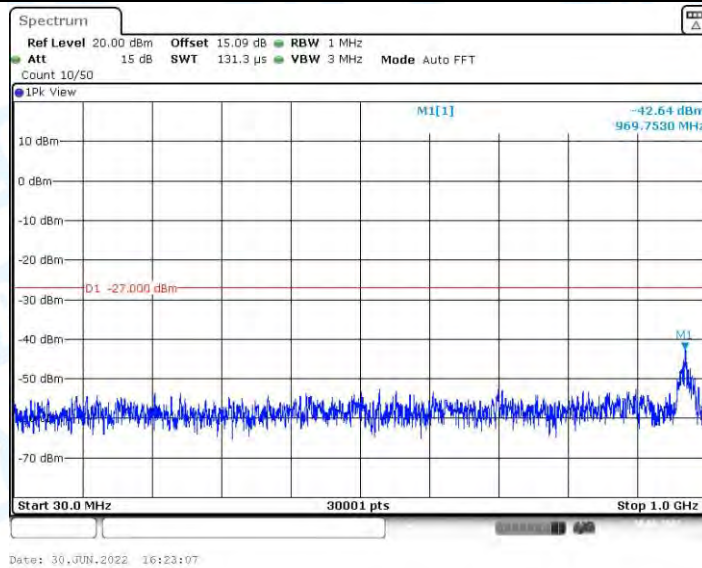
11N40MIMO_Ant2_5795_1000~40000



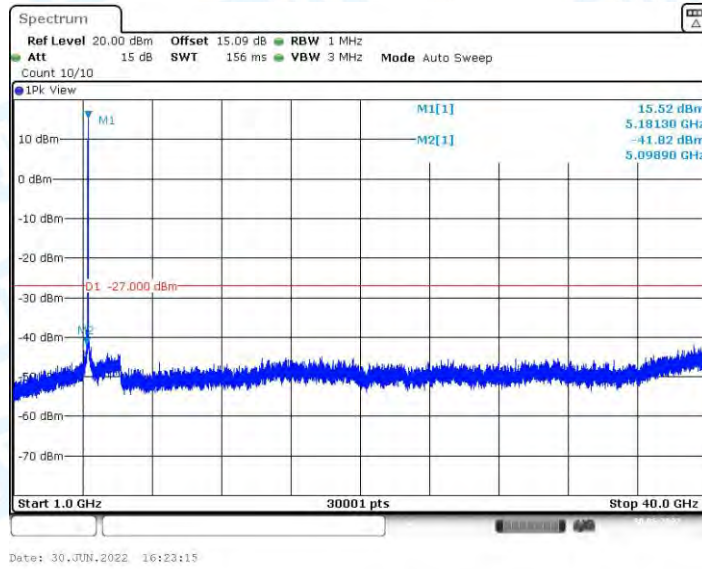
11AC20MIMO_Ant1_5180_30~1000



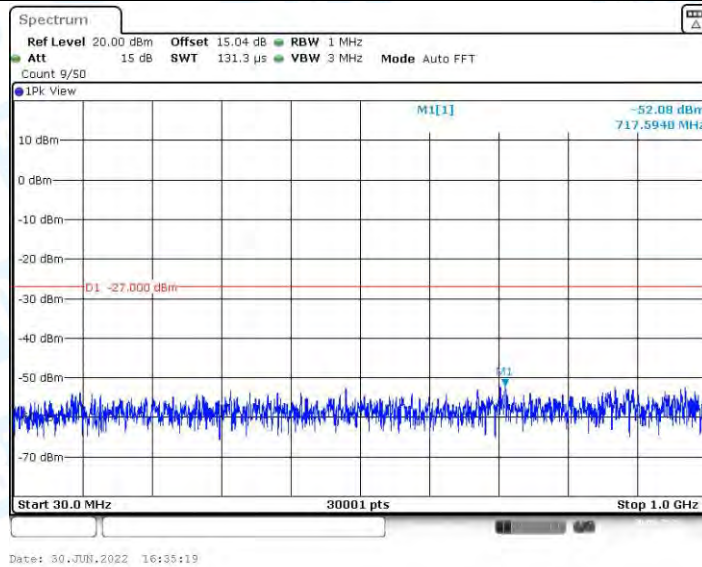
11AC20MIMO_Ant1_5180_1000~40000



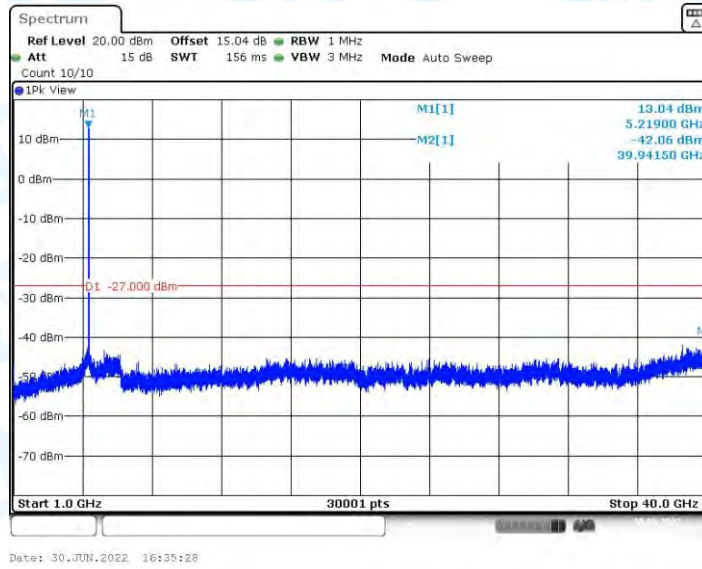
11AC20MIMO_Ant2_5180_30~1000



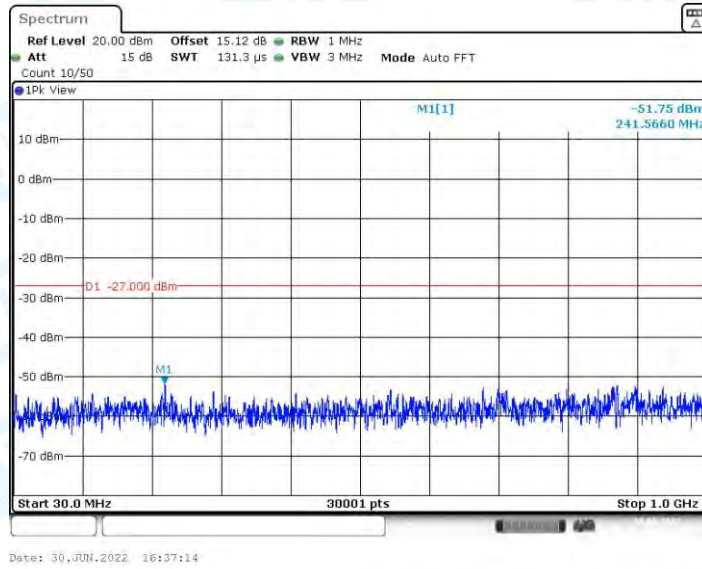
11AC20MIMO_Ant2_5180_1000~40000



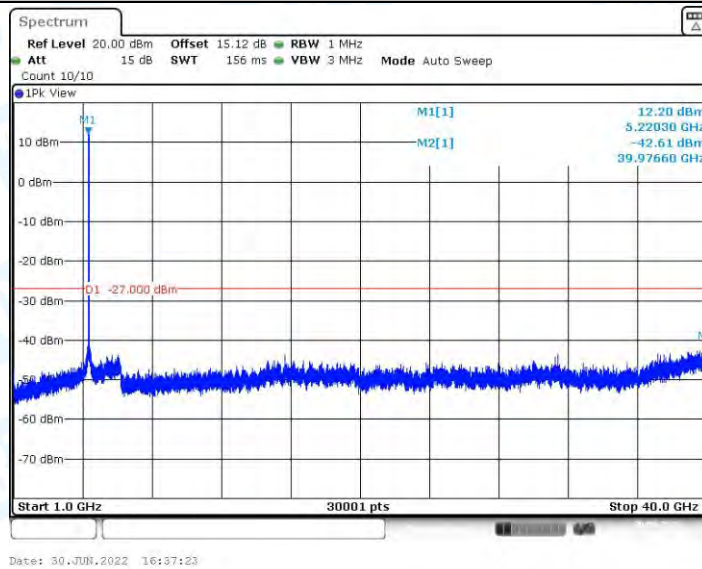
11AC20MIMO_Ant1_5220_30~1000



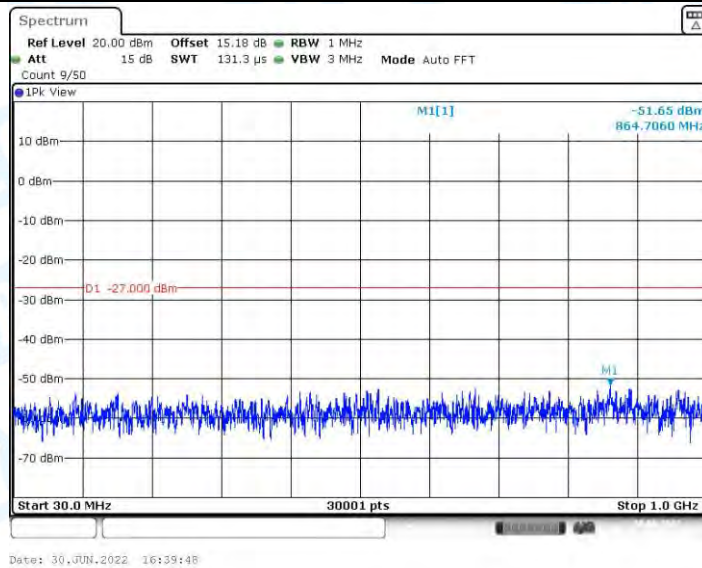
11AC20MIMO_Ant1_5220_1000~40000



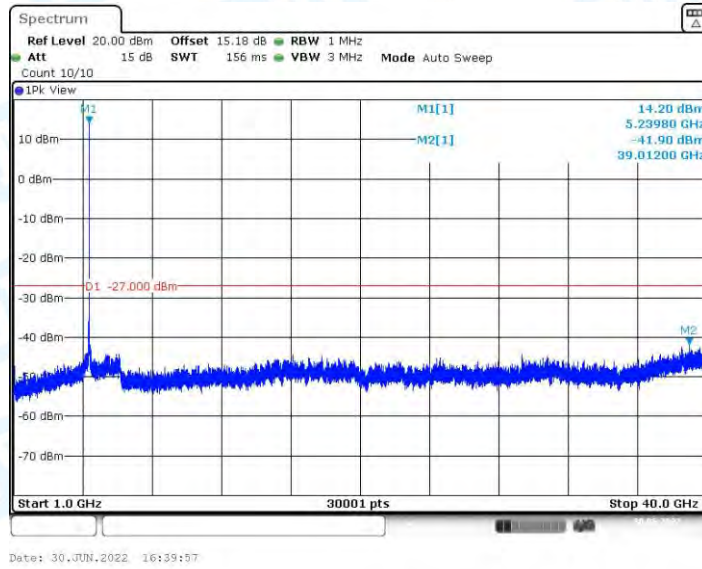
11AC20MIMO_Ant2_5220_30~1000



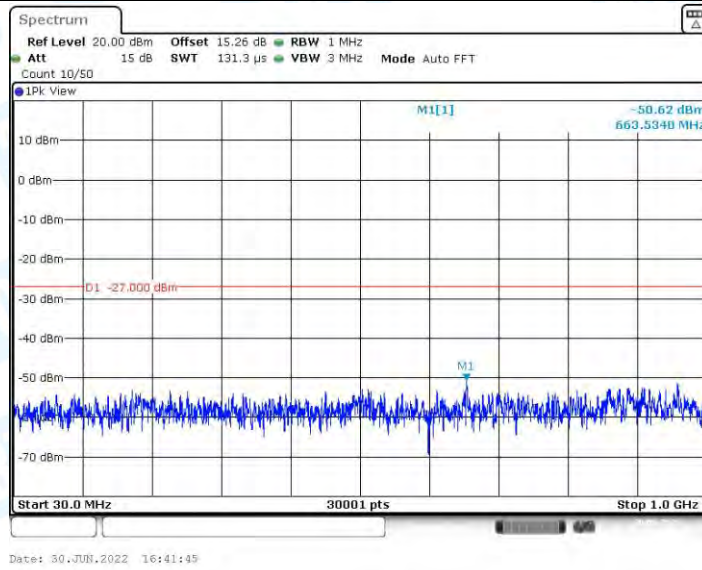
11AC20MIMO_Ant2_5220_1000~40000



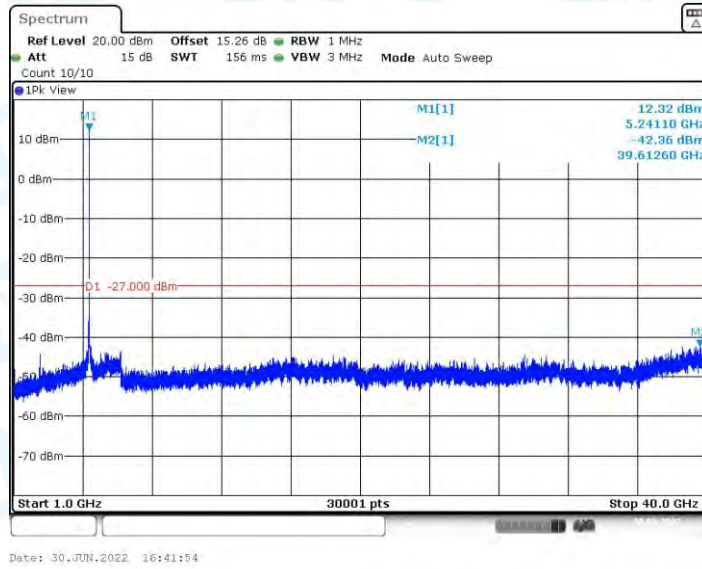
11AC20MIMO_Ant1_5240_30~1000



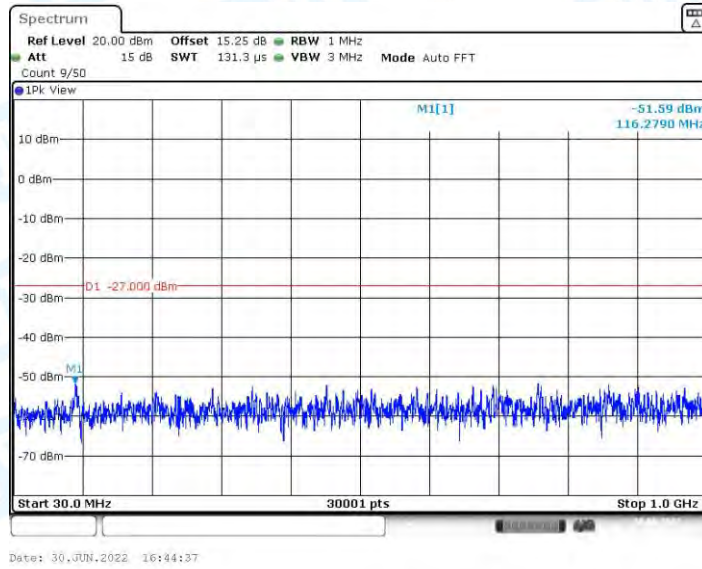
11AC20MIMO_Ant1_5240_1000~40000



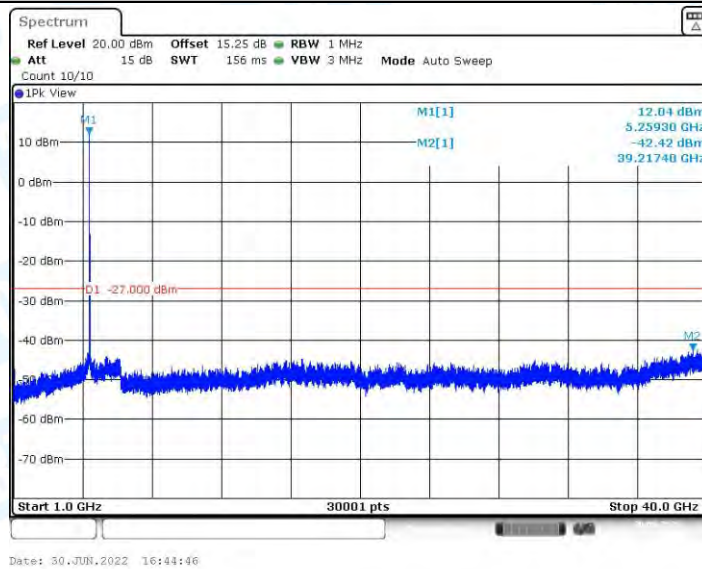
11AC20MIMO_Ant2_5240_30~1000



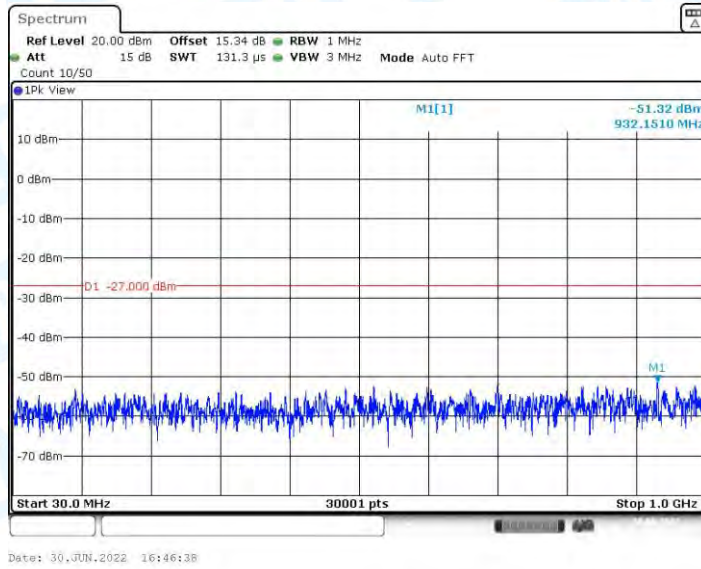
11AC20MIMO_Ant2_5240_1000~40000



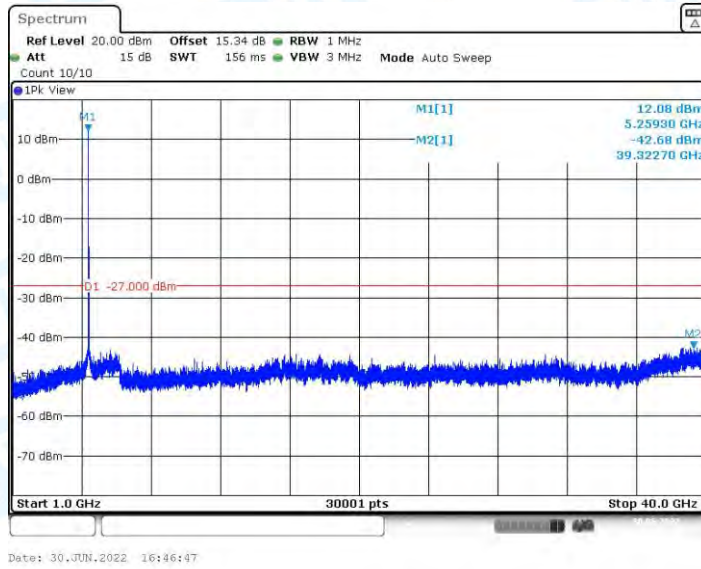
11AC20MIMO_Ant1_5260_30~1000



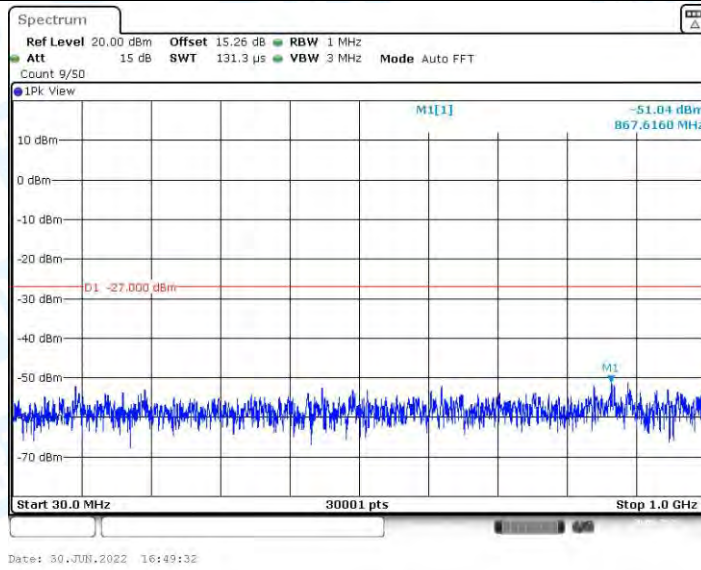
11AC20MIMO_Ant1_5260_1000~40000



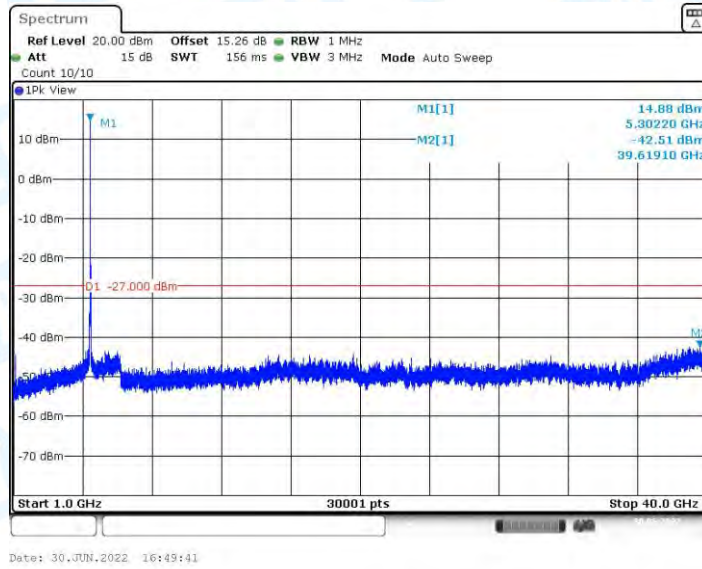
11AC20MIMO_Ant2_5260_30~1000



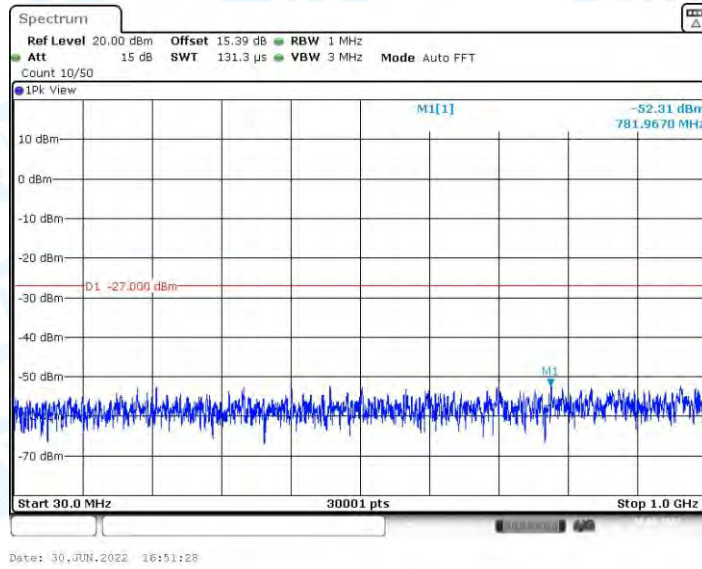
11AC20MIMO_Ant2_5260_1000~40000



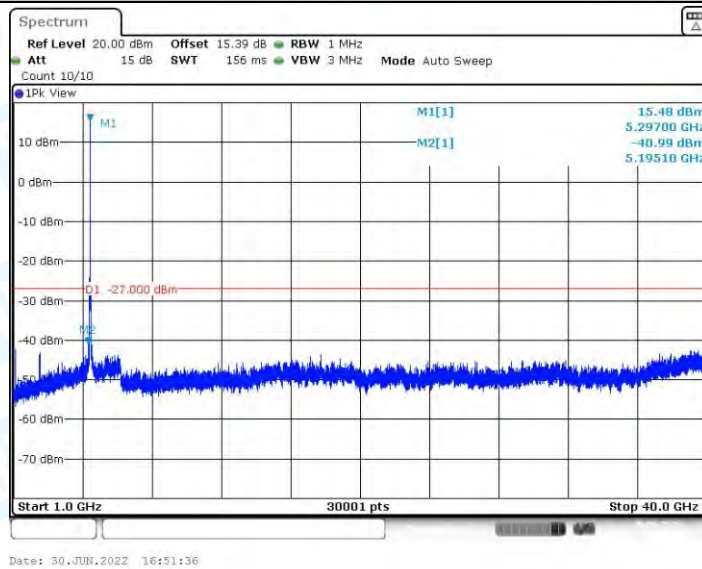
11AC20MIMO_Ant1_5300_30~1000



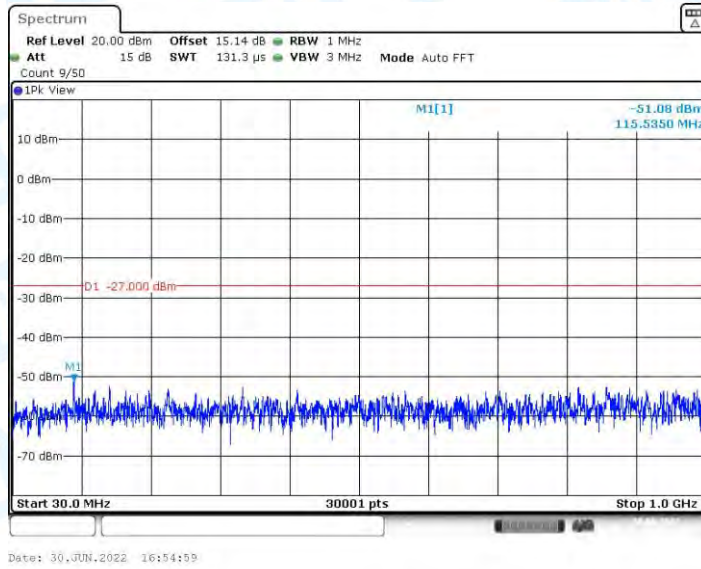
11AC20MIMO_Ant1_5300_1000~40000



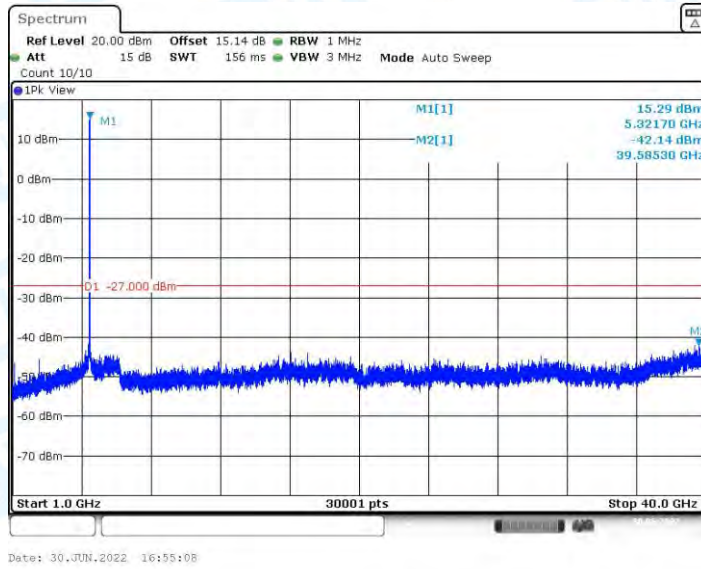
11AC20MIMO_Ant2_5300_30~1000



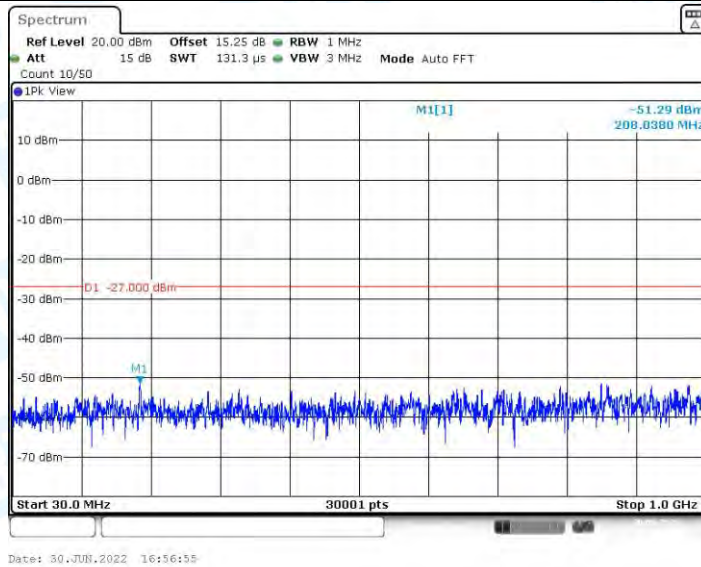
11AC20MIMO_Ant2_5300_1000~40000



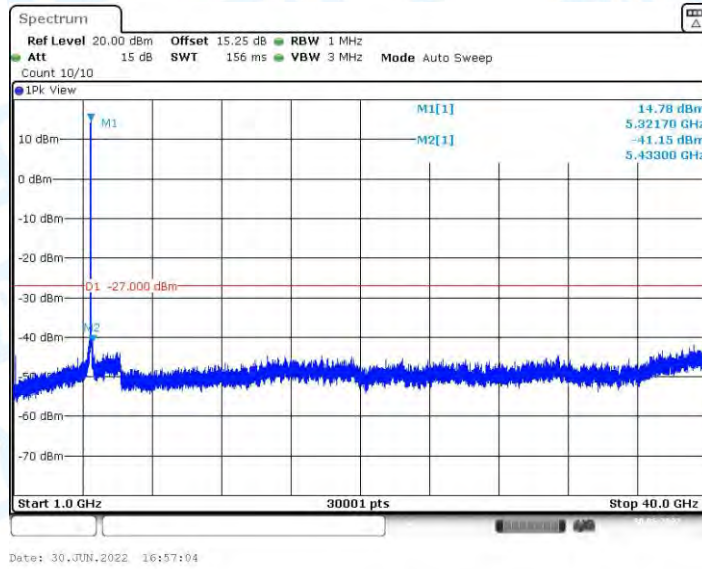
11AC20MIMO_Ant1_5320_30~1000



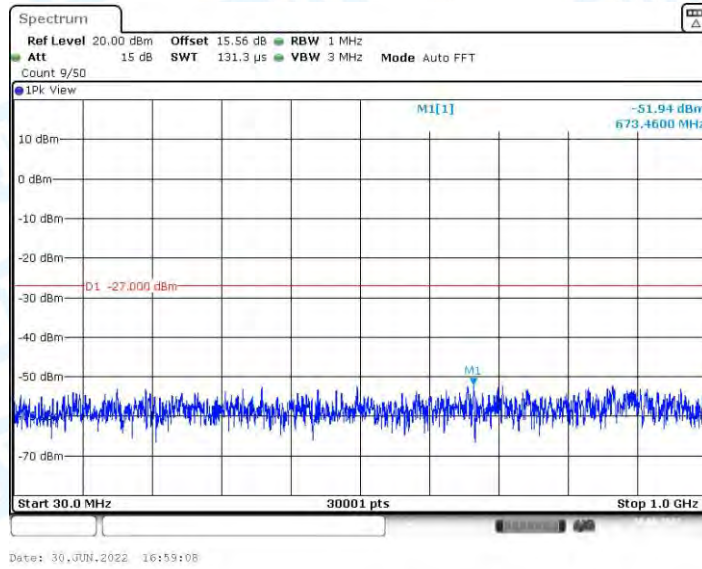
11AC20MIMO_Ant1_5320_1000~40000



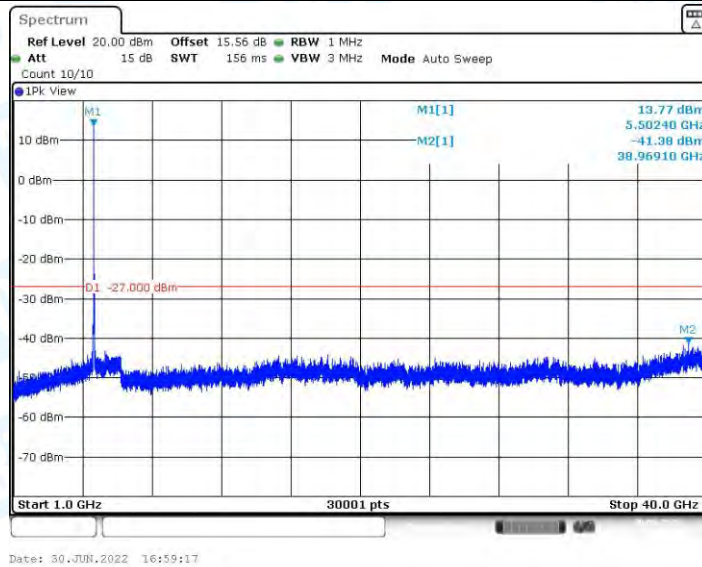
11AC20MIMO_Ant2_5320_30~1000



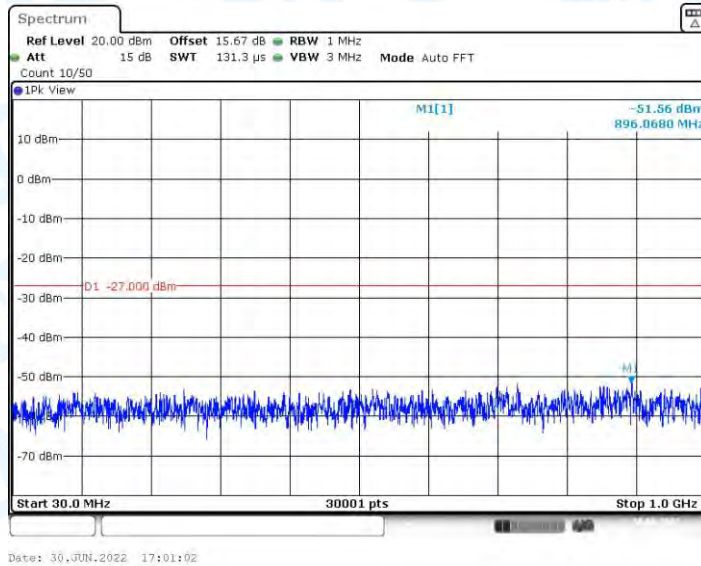
11AC20MIMO_Ant2_5320_1000~40000



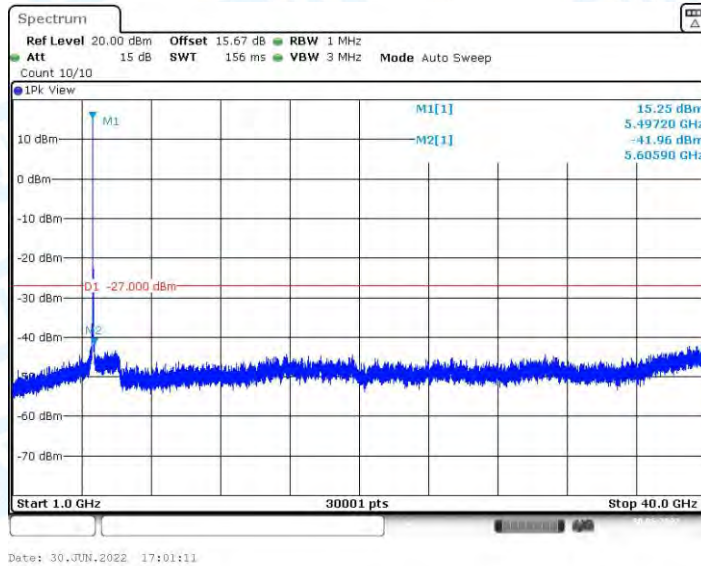
11AC20MIMO_Ant1_5500_30~1000



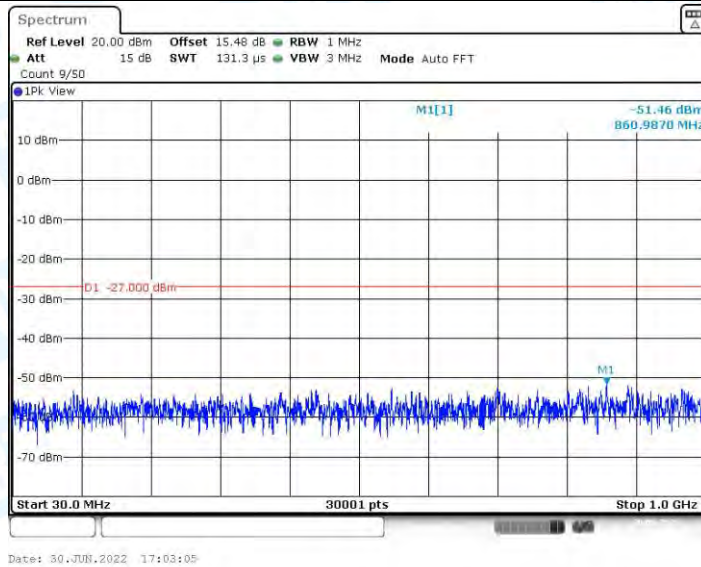
11AC20MIMO_Ant1_5500_1000~40000



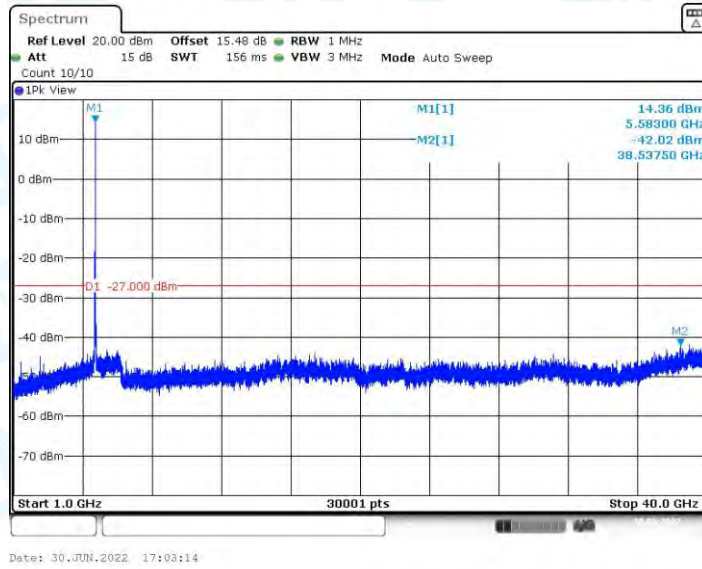
11AC20MIMO_Ant2_5500_30~1000



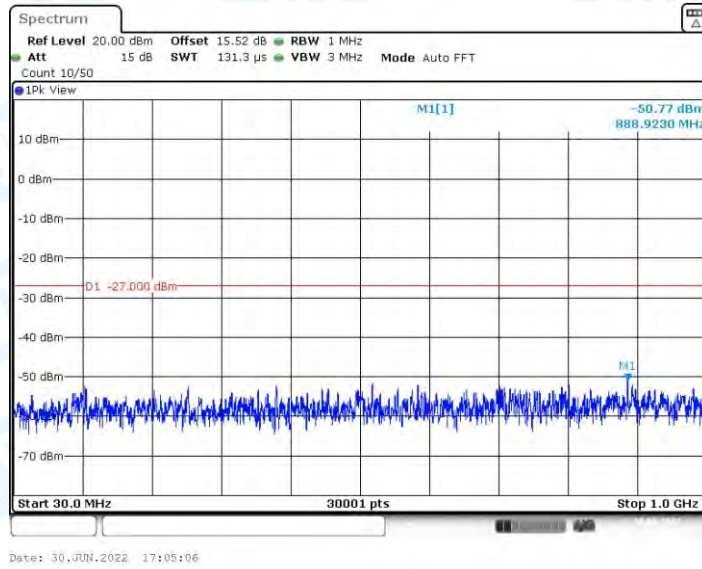
11AC20MIMO_Ant2_5500_1000~40000



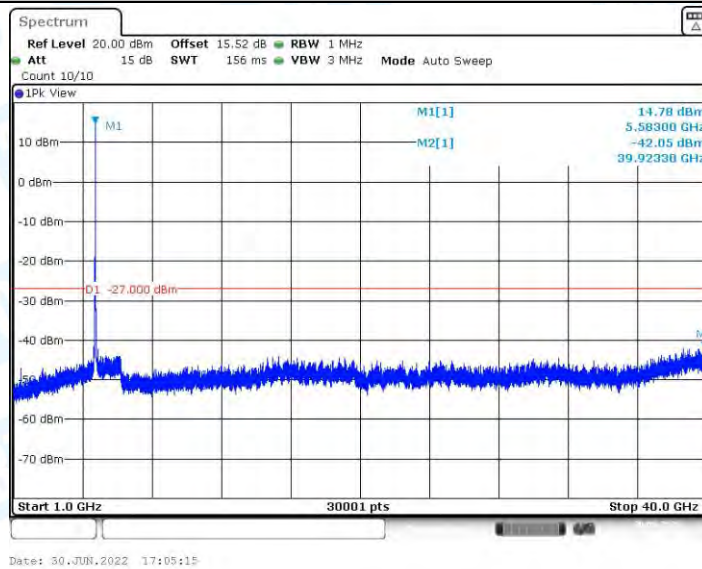
11AC20MIMO_Ant1_5580_30~1000



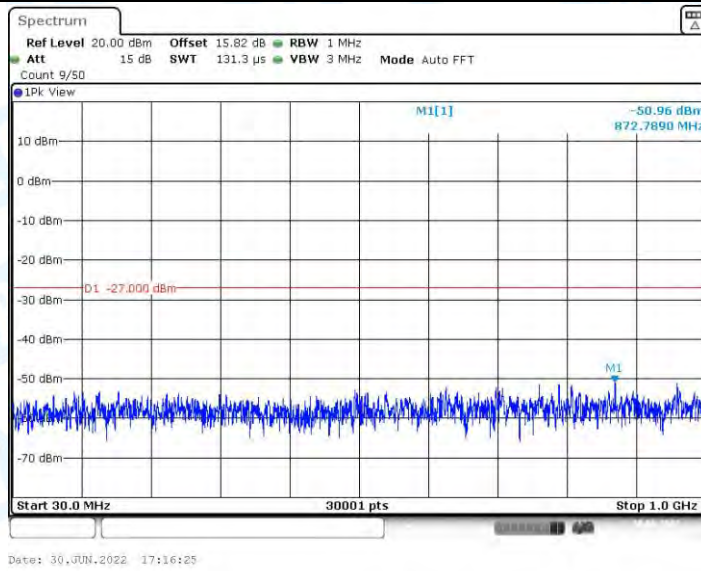
11AC20MIMO_Ant1_5580_1000~40000



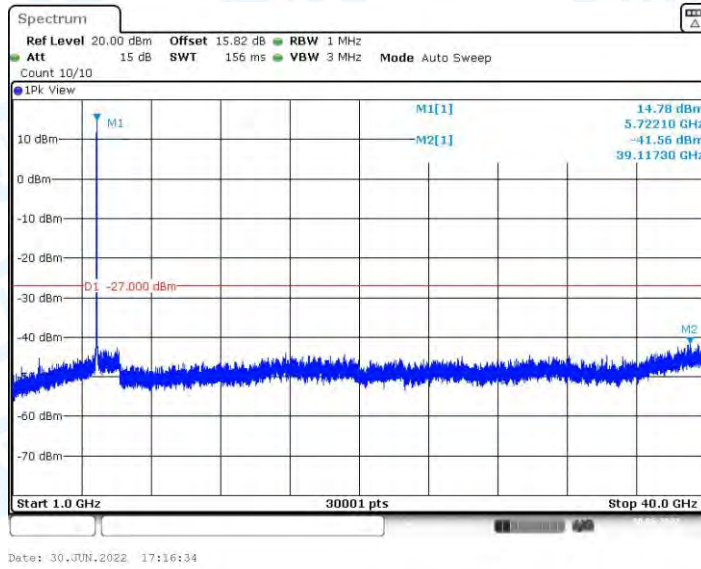
11AC20MIMO_Ant2_5580_30~1000



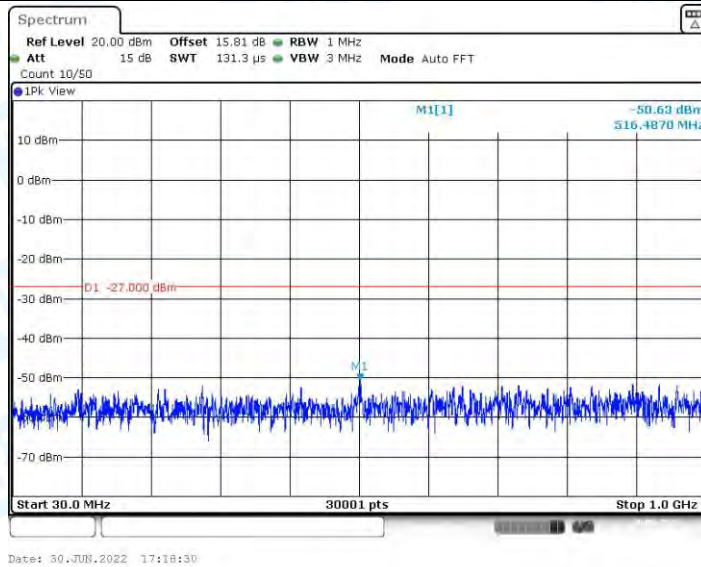
11AC20MIMO_Ant2_5580_1000~40000



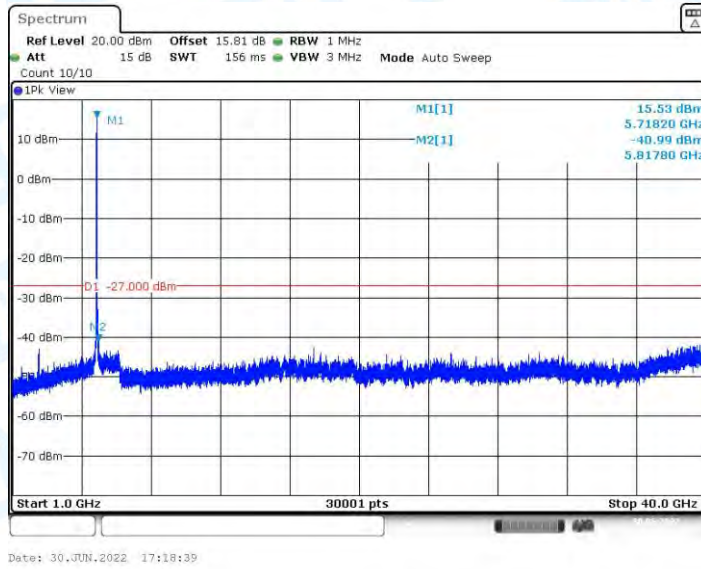
11AC20MIMO_Ant1_5720_30~1000



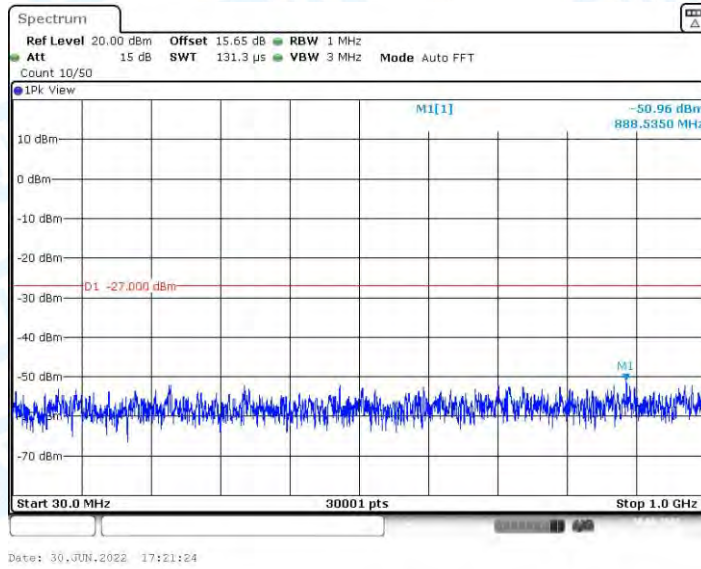
11AC20MIMO_Ant1_5720_1000~40000



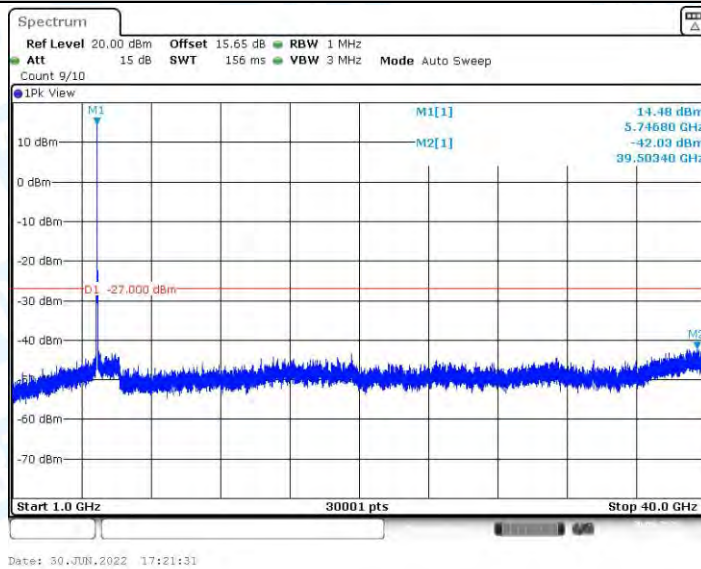
11AC20MIMO_Ant2_5720_30~1000



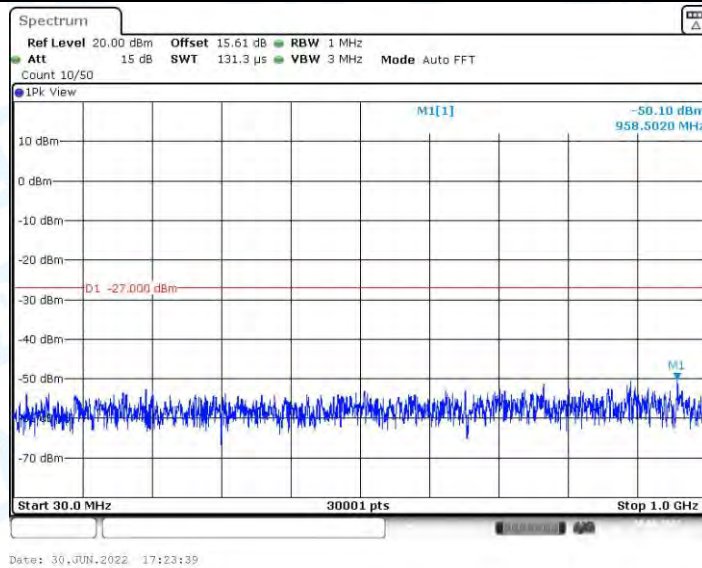
11AC20MIMO_Ant2_5720_1000~40000



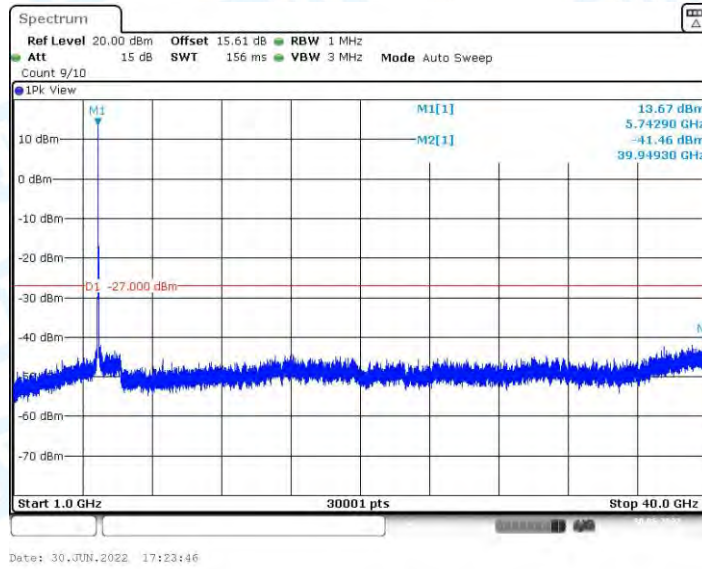
11AC20MIMO_Ant1_5745_30~1000



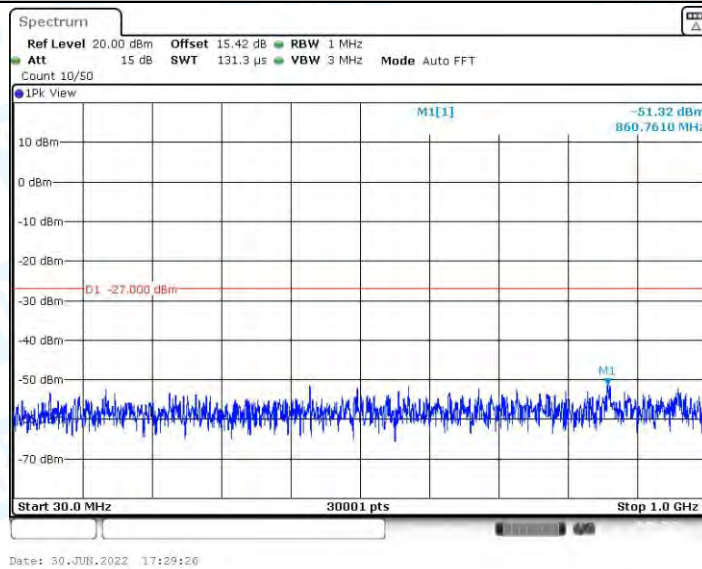
11AC20MIMO_Ant1_5745_1000~40000



11AC20MIMO_Ant2_5745_30~1000



11AC20MIMO_Ant2_5745_1000~40000



11AC20MIMO_Ant1_5785_30~1000